Beitrag zum Phänomen der Hybridisierung von Rabenkrähe (Corvus corone corone L.) und Nebelkrähe (Corvus corone cornix L.). Eine faunistische, morphologische und elektropnoretische Untersuchung in Niederösterreich.

DISSERTATION

ZUR ERLANGUNG DES DOKTORGRADES

AN DER FORMAL- UND NATURWISSENSCHAFTLICHEN FAKULTÄT

DER UNIVERSITÄT WIEN

eingereicht von Gerhard Aubrecht im April 1979 Ich danke Herrn Frofessor Schaller für das Interesse, das er mir während meiner Dissertation teilwerden ließ und Herrn Dr. Tunner, der mich in allen technischen Problemen unterstützte.

Besonderer Dank gebührt meinen Eltern, die mir in allen Situationen weiterhalfen und allen meinen Freunden und Kollegen, die mir immer mit Rat und Tat beistanden.

INHALTSVERZEICHAIS:

1. Einl	eitung	Seite
1.1. Hi	storischer Literaturüberblick	7
1.2. Pro	erphologische Differenzierung und	
Ve	erbreitung von Rabenkrähen, Hebel-	
kr	rähen und deren Hybriden	3
1.3. Fr	coblemstellung	6
2. Unte	ersuchungsgebiet, Material und Eetho	de
2.1. Ur	ntersuchungsgebiet	9
	eterial und Methoden	
2.2.1.	Beobachtungsdaten	11
2.2.2.	Fang und Herkunftsort der Unter-	
	suchungstiere	13
2.2.3.	Melmethode für die morphologischen	
	Merkmale	15
2.2.4.	Blutabnahme	18
2.2.5.	Muskelentnahme	18
2.2.6.	Elektrophorese	18
3. Erg	ebnisse	
3.1.1.	Kartographische Darstellung der	
	Verbreitung von Rabenkrähe, Bebel-	
	krähe und Hybriden	24

3.1.2	2. Relative Häufigkeit der Hybriden Seite				
	und der Raben- und Nebelkrähen in				
	der Hybridzone36				
3.2.	Ergebnisse der Messungen äußerer				
	morphologischer Merkmale von Raben-				
	krähe, Nebelkrähe und Hybriden 42				
3.3.	Elektrophoretische Ehänotypen 44				
3.4.	. Populationsgenetisches Modell zur				
	Erklärung des Hybridgürtels zwischen				
	Raben- und Nebelkrähen				
3.4.	1. Einleitung und Voraussetzungen 54				
3.4.2	2. Mathematische Ausführung 59				
·	-				
4. D:	iskussion				
4.1.	Vergleich der Ergebnisse mit faunisti-				
	schen Untersuchungen des Hybrid-				
	gürtels, sowie Diskussion über die				
	Fertilität der Hybriden und deren				
	Anteil im Mischgebiet 63				
4.2.	Diskussion der morphologischen und				
	biochemischen Merkmale				
4.3.	Diskussion des populationsgenetischen				
	bodells				
4.4.	Allgemeine Diskussion80				
Lite	raturverzeichnis 64				

1. Einleitung

1.1. Historischer Literaturüberblick

Hybridzonen bei Vögeln sind weltweit bekannt (HAFFER 1974, MEISE 1975, MOORE 1977, MOREAU 1966, VUILLEUMIER 1977). Allein in der paläarktischen Ornithofauna bilden derzeit 43 Arten 72 Mischgebiete mit cirka 95 Bastardpopulationen (MEISE 1975).

In der ornithologischen und populationsgenetischen Literatur existiert schon ungefähr 450 Jahre lang das Problem der Hybridisierung zwischen Rabenkrähe (Corvus corone corone L.) und Nebel-krähe (Corvus corone cornix L.), die in der neueren ornithologischen Literatur zum conspezifischen Formenkrais Aaskrähe (Corvus corone L.) zusammengefaßt werden.

In seiner Naturgeschichte der Vögel Deutschlands diskutiert NAUMANN (1822) die Vereinigung von Nebelkrähe und Rabenkrähe zu einer Art. Andererseits versuchte NATHUSIUS (1874) anhand eines geographisch weitgestreuten Materials den "Nachweis des Speciesunterschiedes von Corvus corone und Corvus cornix, und ihrer häufigen Verbastardirung an den Eischalen".

THIENEMANN (1896) gibt die Färbung der Jungen eines Paares, bestehend aus Rabenkrähe und Mebelkrähe, aus Mitteldeutschland an, MARSCHALL & PELZELN (1882) von Niederösterreich. STENHOUSE (1925) berichtet von ähnlichen Beobachtungen in Schottland. HARTERT (1910) versuchte erstmals großräumige Verbreitungsgebiete der verschiedenen Aaskrähen anzugeben. 1928 erschien die umfassende Arbeit von MEISE, welche durch die genaue geographische Festlegung der gesämteuropäischen Hybridzone, allen zukünftigen Untersuchungen als Grundlage diente. In dieser Publikation sind umfangreiche faunistische Angaben des vorigen Jahrhunderts verwertet. Auf morphologische Unterschiede zwischen Aaskrähen einer Population aus Norddeutschland macht zum erstenmal KLEINSCHMIDT (1938) aufmerksam. STEINIGER (1950) versuchte anhand einer Rückkreuzung (Rabenkrähe x Mischling) aus einem Gebiet an der Grenze zwischen Dänemark und Deutschland die Vererbung der Gefiederfärbung zu klären. RICHTER (1958) führte Untersuchungen an einer Aaskrähenpopulation in Mittelmecklenburg durch. Er erhob den Anteil verschiedener Färbungstypen in einer Mischpopulation und verglich einige morphologische Messungen. BÄHRMANN (1960)

geht in zwei Arbeiten an einer Mischpopulation in Sachsen auf Größenunterschiede und Färbungsverhältnisse ein. Körpergröße bei Altersklassen von Raben- und Nebelkrähe untersuchte FOCKE (1966) bei Bremen. Ein brütendes Rabenkrähenpaar in Rumänien fand STANESCU (1966). DUBOIS (1974) beobachtete ein Paar aus Rabenkrähe und Nebelkrähe in der Bretagne. Aus Schottland berichtet COOK (1975) über eine räumliche Verschiebung der Hybridzone, und PICOZZI (1976) führt Ergebnisse verschiedener Kreuzungen im Mischgebiet an. WARNCKE (1968) gibt die Farbaufteilung einer Rückkreuzung (Rabenkrähe x Mischling) aus Mittelfranken an und NOTHDURFT (1976) fand übersommernde Nebelkrähen und Hybriden in Oberschweben vor. Trotz dieser zehlreichen Untersuchungen und theoretischer Uberlegungen von HARTERT (1910), MEISE (1928, 1975), PEUS (1941), VAURIE (1954), BAUER (1958), MAYR (1963, 1970), THOMESON (1964), SHORT (1969) und SELANDER (1971) bleibt das Problem des zeitlichen Bestehens der Hybridzone offen.

1.2. Morphologische Differenzierung und Verbreitung von Rebenkrähen, Nebelkrähen und deren Hybriden

Die beiden Aaskrähenformen können durch ihre verschiedene Gefiederfärbung leicht auseinander gehalten werden.

Bei der adulten Nebelkrähe sind Kopf, vordere Halsseiten, Kehle, Kropf, Flügel, Schwanz und Schenkelbefiederung schwarz. Der übrige Körper erscheint grau. Rabenkrähen zeichnen sich durch reinschwarzes Gefieder aus.

Das Verbreitungsgebiet (s. Abb. 1) der Rabenkrähe erstreckt sich über England, das südliche und zentrale Schottland, in Europa nördlich bis Schleswig Holstein und östlich bis zur Elbe. In der Tschechoslowakei besiedeln Rabenkrähen nur die westlichsten Gebiete, ungefähr bis zur Linie Prag - Budweis. In Österreich verläuft die Ostgrenze durch Niederösterreich, Steiermark und Kärnten. ISSEL & STEINBACHER (1956) bestätigen, daß Rabenkrähen in Norditalien bis in die Täler südlich der Alpen vorkommen. Nebelkrähen leben in Irland, im Norden Schottlands, in Skandinavien, östlich der Rabenkrähenverbreitung in Mitteleuropa, in Italien und im östlichen Europa. Dieses Verteilungsmuster fand MEISE (1928) vor. Wo beide Areale aneinanderstoßen, besteht eine Hybridzone. Diese wird charakterisiert durch

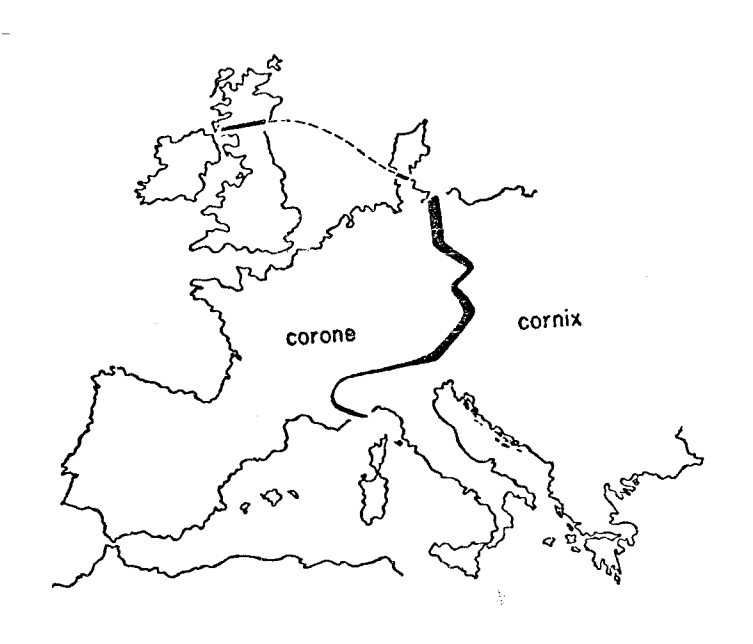


Abb. 1: Verlauf der Hybridzone zwischen Rabenund Nebelkrähe in Europa (nach MEISE 1928 aus MAYR 1963).

Mischlinge, deren Gefiederfärbung alle Übergänge zwischen Raben- und Nebelkrähe aufweist.

In der Literatur finden sich widersprüchliche
Angaben über die Breite der Hybridzone (MEISE
1928, NIETHANMER 1937, DOBZHANSKY 1942, RICHTER
1958, BERNDT & MEISE 1966, MELDE 1969), die
Fertilität der Hybriden (STENHOUSE 1925, MEISE
1928, MINTUS 1928, STEINIGER 1950, GRAY 1958,
BERNDT & MEISE 1958, B. HRMANN 1960, THOMPSON
1964, PICOZZI 1976) und den Hybridenteil im

Mischgebiet (NEISE 1928, STEINIGER 1950, RICHTER 1958, BÄHRMANN 1960, PICOZZI 1976).

1.3. Problemstellung

Bis jetzt gibt es noch keine zwingende Erklärung für die Ausdehnung und Beständigkeit der Hybridzone und für die verwandtschaftlichen Verhältnisse der Aaskrähenformen im Mischgebiet.

Dieser Fragenkomplex ist eng verknüpft mit dem Problem der Artentstehung nach sekundärem Kontakt (vgl. MEISE 1928, PEUS 1941, SALOMONSEM 1931, MILLER 1955, MAYR 1942, 1963, 1970, SIBLEY 1957, BIGELOW 1965, SHORT 1969, 1972, SELANDER 1971, AMADON & SHORT 1976, MOORE 1977, ENDLER 1977). Entweder führt verminderte Fertilität der Hybriden zur Ausbildung von Kreuzungsbarrieren und weiter zur Artbildung von Raben- und Nebelkrähe oder die Hybriden dienen bei gleicher Fertilität als "Brücke" für den Genfluß zwischen den Ausgangsformen, wobei eine einheitliche Population entstehen mußte. Trotz dieser Postulate muß aber hier eine andere Erklärung gesucht werden wegen des Alters und wegen der Stabilität der Hybridzone zwischen Raben- und Nebelkrähe.

Folgende Probleme sind vorrangig zu behandeln: Wie drückt sich die Variabilität der Hybriden aus?

Wieviele und welche Merkmale erscheinen gegenüber den beiden Ausgangsformen verändert?
Wie weit ist deren Differenzierung fortgeschritten?
Wie sind die Mischlinge in der Hybridzone verteilt und in welcher zahlenmäßigen Relation
stehen sie dort zu den reinen Typen?
Wie breit ist die Zone, wo Hybriden entstehen?
Ändern sich Breite und Lage der Hybridzone
regional?

Findet zufällige Paarung statt, oder können Raben- und Nebelkrähe einander unterscheiden? Liegt senkrecht zur Hybridzone ein meßbarer ökologischer Gradient vor, sodaß Raben- und Nebelkrähe an verschiedene Umweltbedingungen angepaßt sein könnten?

Für einen populationsgenetischen Ansatz, wie er hier versucht werden soll, ist es besonders wichtig, Parameter für das Ausmaß des Gen-flusses in einer Population zu erfassen. Als Maß dazu dienen Angaben über die Abwanderung von Alt- und Jungvögeln und der Grad der Wahrscheinlichkeit, daß Jungvögel an gleicher Stelle wie ihre

Eltern brüten.

Um diese Fragen in einer natürlichen Population annähernd zu klären, waren zunächst die faunistischen Angaben von MEISE (1928) im Untersuchungsgebiet Niederösterreich zu überprüfen.

Freilandbeobachtungen während aller Jahreszeiten sollten weiterhin Aufschluß über Beziehungen der Krähen zueinander geben.

An gefangenen Tieren waren morphologische Merkmale zu messen. Elektrophoretische Untersuchungen
des Blutserums und einiger Muskelenzyme sollten
schließlich die Erhebung weiterer Merkmale ermöglichen, um so das Ausmaß der Variabilität abschätzen zu können.

Da Züchtungsexperimente bei Aaskrähen noch nie gelangen (vgl. HEINROTH 1924) und zeitlich zu aufwendig wären, mußten sich Angaben über die Fertilität der Hybriden auch hier nur auf die Literatur und Beobachtungen während der Brutzeit stützen.

Ziel der faunistischen und experimentellen Erhebungen sollte sein, die Grundlagen für ein populationsgenetisches Modell nach MAY et al. (1975) und EMDLER (1977) zu erarbeiten. Dieses Modell versucht unter realistischen Voraussetzungen die derzeitige Lage und Stabilität des Hybridgürtels zu erklären.

2.1. Untersuchungsgebiet

Beobachtungen zur Abgrenzung des Hybridgürtels wurden in Niederösterreich, im nördlichen Burgenland und in östlichen Randgebieten des Mühlwiertels durchgeführt. Alle untersuchten Tiere stammen aus diesem Gebiet(vgl. Abb. 2). geographische Länge: 14°20' - 17°10' O Greenwich Breite:49°01' - 47°25'

Das Untersuchungsgebiet läßt sich charakterisieren durch Regionen mit wärmeren Sommern (Weinviertel, Alpenvorland), kühleren Sommern (Waldviertel) und pannonisch-europäischem Übergangsklima (Wiener Becken, östliches Weinviertel). Sub-alpine Bereiche und Hochgebirgsklima finden sich im südlichsten Teil von Niederösterreich. Danach richten sich auch weitgehend die Vegetationsverhältnisse. Wiener Becken, Harchfeld, nördliches Burgenland und Teile des Tullner Feldes (ca. 120 – 260 m Seehöhe) stehen unter pannonischem

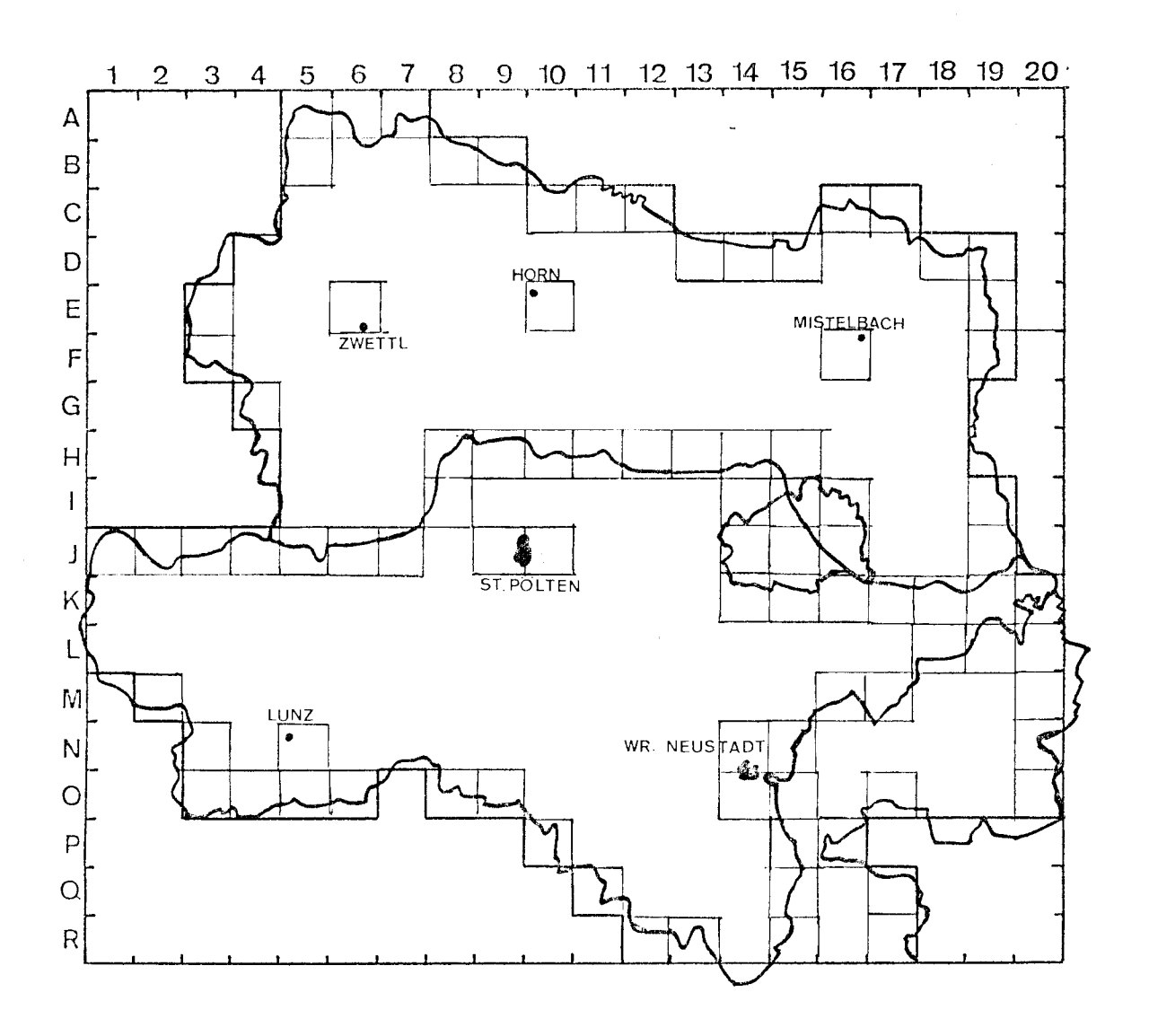


Abb. 2: Übersichtskarte des Untersuchungsgebietes. Zur Orientierung ist der 10 x 10 km Raster teilweise eingetragen.

Einfluß. Von ca. 200 - 400 m Seehöhe reicht die pannonische Hügelstufe (Weinviertel, Hainburger Berge). Die mitteleuropäische Hügelstufe umfaßt das Alpenvorland (200 - 400 m). Waldviertel, Wiener Wald, Bucklige Welt und niedere Teile der Kalkvoralpen liegen in der mitteleuropäischen montanen Mischwaldstufe (bis ca. 700 m). Höhere Lagen im Waldviertel und in den Kalkvoralpen werden der hochmontanen Buchen- Tannen - Fichten- Mischwaldzone zugeteilt (bis ca. 1000 m). Subalpine Fichtenwälder und Zwergstrauchstufe kommen nur in den höheren Erhebungen der Kalkalpen vor. Alpenvorland, Tullner Feld, Marchfeld, große Flächen des Weinviertel und des Wiener Beckens werden durch Ackerbau genützt.

2.2. Material und Methoden

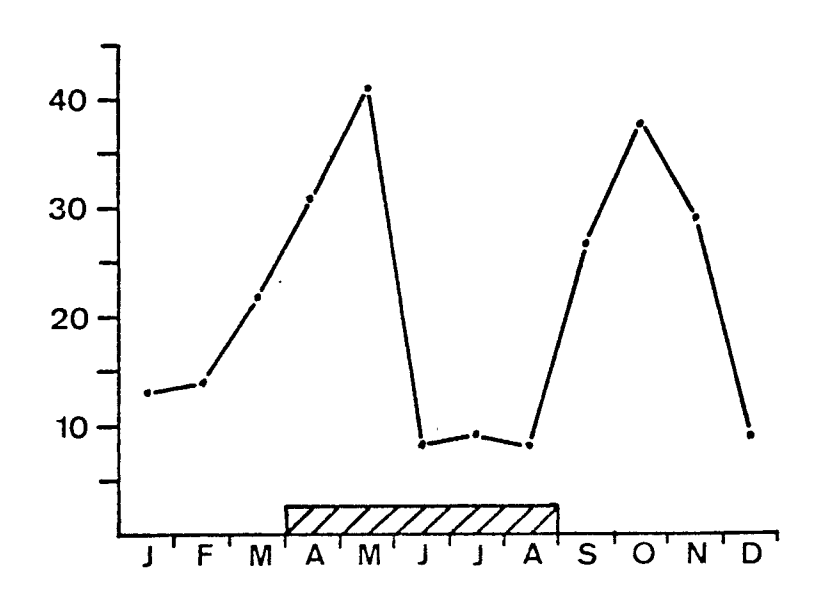
2.2.1. Beobachtungsdaten

Seit 1966 liegen protokollierte Angaben über ca. 5500 Individuen von 251 Beobachtungstagen vor. Zwei Drittel der Beobachtungen stammen von mir selbst.

85 % der Daten konzentrieren sich auf den 4eitraum von 1975 bis 1978, 50 % davon auf die Jahre
1977 und 1978. Bei Wanderungen, Auto- und Bahnfahrten wurden, meist mit dem Feldstecher (7 x 42),
fünf Färbungsklassen unterschieden.

Nebelkrähe (Typ 1), nebelkrähenähnlicher (Typ 2), rabenkrähenähnlicher (Typ 4), intermediärer (Typ 3) Hybrid und Rabenkrähe (Typ 5) sind im Freiland gut auseinanderzuhalten (vgl. FICOZZI 1976, BÄHRMANN 1960, RICHTER 1958). Die jahreszeitliche Verteilung der Beobachtungen (s. Abb. 3) ist unregelmäßig, weil alle Zufallsbeobachtungen mitgewertet wurden.

Abb. 3: Jahreszeitliche Verteilung der Beobachtungen



Protokolle enthalten möglichst folgende Angaben: Ort, Datum, Zeit, Wetter, Alter, Biotop, Verhalten, Anzahl, Relation der 5 Färbungsklassen. Um die Lage der Hybridzone kartographisch festzuhalten, verwendete ich einen Raster, der das Untersuchungsgebiet in 10 x 10 km Quadrate einteilt. Dadurch können quantitative Vergleiche anschaulich dargestellt werden (vgl.BERTHCLD, BEZZEL, THIELCKE 1974). Wegen der punktmäßigen Protokollierung aller Beobachtungen kann auch jederzeit in einen anderen Raster übertragen werden.

2.2.2. Fang und Herkunftsort der Untersuchungstiere

Um Blut und Muskelgewebe für elektrophoretische
Untersuchungen zu erhalten, müssen die Tiere
lebend oder mit noch nicht geronnenem Blut
zur Verfügung stehen. Da Aaskrihen in Niederösterreich nicht zum jagdbaren Wild zählen,
dürfen sie uneingeschränkt erlegt werden.
Nach zeitraubenden Versuchen, diese scheuen und
Distanz haltenden Vögel zu schießen, versuchte
ich eine andere Methode, lebende Vögel zu erhalten.

Krähenmassenfallen (BUB 1967, KEIL 1967), die bei einigen Jägern in Verwendung stehen, brachten die gewünschten Erfolge. Die gefangenen Vögel wurden zur Untersuchung möglichst schnell ins Labor gebracht oder in einer Voliere (5 x 3 x 2.5. m) zur Beobachtung und für weitere Versuche gehalten.

Gmund (48°46' / 14°59'): 2 Rabenkrähen jg. Rust im Tullner Feld (48°18' / 15°56'):

1 Nebelkrähe jg.

1 Hybrid 2, jg.

2 -"- 3, jg.

2 Rabenkrähen (1 jg.,

1 ad.)

St. Veit/Gölsen (48°02' / 15°40'):

1 Hybrid 4, Nestling

Wien (48°12' / 16°20'): 1 Nebelkrähe, jg.

4 Hybriden 2 (3 jg.,

1 ad.)

4 -"- 3, jg.

4 -"- 4, jg.

Schwarzau/Steinfeld (47°44' / 16°10'):

1 Hybrid 2, jg.

Stang/Bucklige Welt (47°32' / 16°18'):

24 Nebelkrähen (19 jg.,

5 ad.)

Kirchschlag/Bucklige Welt (s.Stang):

6 Rabenkrähen (5 jg.,

1 ad.)

Breitenbuch/Bucklige Welt (47°38' / 16°17'):

9 Nebelkrähen (7 jg.,

1 ad.)

5 Hybriden 2 (4 jg., 1 ad.)

5 Rabenkrähen, jg.

Seewinkel $(47^{\circ}45' / 16^{\circ}50')$:

1 Nebelkrähe (Nestling)

2.2.3. Meßmethode für die morphologischen Merkmale

Zehn Naße wurden zum Vergleich herangezogen:

Tarsometatarsus: Die Länge zwischen den Gelenkansätzen wird mit einer Schublehre gemessen (linkes Bein).

- Krallenspanne: Der linke Fuß wird auf ein Meßbrett mit Millimetereinteilung gestellt, sodaß Vorderzehen und Hinterzehe in einer Ebene
 liegen. Das Maß stellt die Distanz zwischen
 Krallenspitze der mittleren Vorderzehe und
 Krallenspitze der Hinterzehe dar.
- Die Zehenspanne wird ebenso abgenommen. Sie erstreckt sich zwischen den Krallenansätzen der
 mittleren Vorderzehe und der Hinterzehe bei
 aufliegendem Fuß.
- Krallenlängen der mittleren Vorderzehe und Hinterzehe werden mit der Schublehre vermessen.
 Meßpunkte sind die Krallenspitze und der Ansatz der Kralle auf der Zehenoberseite.
- Flügellänge: Der Flügel wird leicht an das Meßbrett angedrückt und der Abstand zwischen Flügelbug und distalem Ende der Handschwinge abgelesen.
- Schwanzlänge: Ein senkrecht aus dem Meßbrett ragender Stift wird zwischen die Schwanzfedern geschoben bis er die Haut am Federansatz erreicht. Von diesem Funkt bis zum distalen Ende der längsten Schwanzfeder ergibt das Maß.
- 3 Schnabelmaße werden mit der Schublehre abgenommen:

- Entfernung zwischen Schnabelgelenk und Schnabelspitze
- 2) Entfernung zwischen dem proximalen Rand des Nasenloches und der Schnabelspitze
- 3) Schnabelhöhe beim distalen Rand des Nasenloches

Das Gewicht der Vögel wurde nicht bestimmt, weil die Vögel in der Falle künstlich angefüttert wurden. Aus dem gleichen Grund verzichtete ich auf Magenanalysen.

Aus der Rachenfärbung läßt sich zwischen adulten (dunkel) und juvenilen (hell) Vögeln unterscheiden (RICHTER 1958, FOCKE 1966). Auch die Brauntönung des Gefieders deutet auf noch nicht adulte Vögel hin (s. NIETHAMMER 1937). Stichprobenweise untersuchte ich auch das Geschlecht durch Sektion der Gonaden.

Das Datenmaterial wurde einer multiplen Diskriminanzanalyse unterzogen, um Merkmale zu werten und
Rabenkrähe, Mebelkrähe und Hybriden aufzutrennen.

LEISLER & WIEKLER (1978) erzielten mit dieser
mathematischen Methode gute Resultate bei
Sylviiden.

2.2.4. Blutabnahme

Die Krähen werden im Labor mit Essigäther betäubt, bis die Muskeln entspannt sind. Cirka 20 ml Blut wird durch Punktion direkt aus dem Herz entnommen und nach der Gerinnung drei Minuten lang zentrifugiert. Das Serum wird von den Blutzellen abgesaugt und tiefgefroren zu Bearbeitung aufbewahrt.

2.2.5. Muskelentnahme

Die Tötung der Krähen erfolgt durch Essigäther. Mit einem sterilen Skalpell wird vom Oberschenkel ein ca. 0.5 cm³ großes Muskelstück abgetrennt und sofort tiefgefroren.

2.2.6. Elektrophorese

Die Auftrennung der Serumproteine erfolgt durch vertikale <u>Acrylamidgel – Diskelektrophorese</u>, weil diese schärfere Banden hervorbringt als die früher übliche Stärkegelelektrophorese (vgl. TUNNER 1973, ALIEN & MAURER 1974).

Das <u>diskontinuierliche</u> Acrylamidgel setzt sich aus einem 2.5 % Sammelgel und einem 7.5 % Trenngel zusammen.

Sammelgel:	1 N HCl60 ml
	Tris10 g
	Bis6.24 g
	Acrylamid25 g
	ed 1 l Aque dest.

Trenngel: 1 N HCl......60 ml

Tris......45.4 g

Bis.....1.92 g

Acrylamid.....75 g

ad 1 l Aqua dest.

Eine genaue Beschreibung der Chemikalien erfolgt im Anhang an die Methode.

Die Lösungen werden gefiltert und können gekühlt einige Wochen aufbewahrt werden. Zur Lösung wird als Polymerisationsaktivator eine Ammoniumpersulfatlösung (1.4 g/ 100 ml $\rm H_2O$) und Tetramethyläthylendiamin (TEMED: 10 Tropfen / 50 ml) beigefügt.

Als Puffersystem dient ein Tris-Glycin-Puffer, pH 8.5:

Pufferlösung: Tris......28.8 g

Glycin.....138 g

ad 2400 ml Aqua dest. (zum Gebrauch

1: 10 verdünnt)

Eine Probe enthält 10 mikroliter reines Serum.

Die Zugabe einer 0.32 M Sucroselösung (Serum Sucrose 1: 2) verbessert die Schärfe der Bänder.

Die angelegte Spannung wird bei den Versuchen
zwischen 100 und 300 Volt bei 35 bis 100 mAmpere
variiert. Danach richtet sich auch die Zeit der
Auftrennung (40 bis 140 Minuten).

Um die Wanderungsweite zu erkennen, läuft eine Standard Hämoglobinlösung mit.

Die Färbelösung besteht aus Methanol, Eisessig und Wasser (5:1:5) und dem Farbstoff Amido-schwarz. Die gleiche Lösung ohne Farbstoff dient zur Entfärbung und Aufbewahrung der Gele.

Die Untersuchung der Muskelenzyme Lactatdehydrogenase (LDH), Malatdehydrogenase (MDH) erfolgt durch horizontale Stärkegelelektrophorese.

Diese Methode findet bei taxonomischen und systematischen Fragen seit 1957 (HUNTER & MARKERT) allgemeine Anerkennung. Eine Zusammenfassung verschiedener Techniken geben SHAW & PRASAD (1970).

Zusammensetzung des Gels:

Stärkegel 12 %:

Stärke......42.0 g

konz.Elektroden-

puffer.....23.38 ml

ad 350 ml Aqua dest.

Elektrodenpuffer: Tris - Citrat, pH 7

Tris......98.1 g

Zitronensäure...54.2 g

ad 6000 ml Aqua dest.

Für die Untersuchung werden kleine Muskelstücke zusammen mit 2 Tropfen Aqua dest. zerrieben. Dieses Homogenisat wird mittels Filterpapier am Gel aufgetragen.

Die Auftrennung erfolgt bei 130 bis 160 V und 10 bis 30 mAmpere. Sie ist nach cirka 4 Stunden beendet.

Die Darstellung der Enzyme erfolgt durch Zugabe des spezifischen Substrates, das im Substratpuffer gelöst ist.

Substratpuffer: Tris - HCl, pH 8

Tris.....12.1 g

 $\mbox{HCl.....zur}$ Einstellung auf pH 8

ad 1000 ml Aqua dest.

Substratlösung für Lactatdehydrogenase:

In 10 ml Substratpuffer sind gelöst

Lactat 5 M.....400 mikro 1

NAD.....10 mg

KCN..... mg

Substratlösung für Malatdehydrogenase:

In 10 ml Substratpuffer sind gelöst

Malat DL, 2 M......1.5 ml (3.5 g/10 ml Aqua dest.)

10 ml einer aufgekochten Agarlösung (1 g Agar / 50 ml Aqua dest.), die der Substratlösung beigemischt werden, binden das Substrat gleichmäßig an die Geloberfläche.

Bei einer Inkubationstemperatur von ca. 35° C werden schon nach wenigen Minuten Enzymreaktionen in Form von Bändern oder Flecken sichtbar.

Beschreibung der Chemikalien:

- <u>Tris....</u>Tris(hydroxymethyl)-aminomethan zur Analyse bzw. Aminomethylidinitrimethanol $C_4H_{11}NO_3$ (Fa. Merck)
- <u>Bis....</u>N,N'-Methylendiacrylamid zur Synthese $C_7H_{10}N_2O_2$ (Fa. Merck)
- Acrylamid C3H5NO zur Synthese (Fa. Merck)
- Ammoniumpersulfat: Ammoniumperoxodisulfat zur Analyse, (NH₄)₂S₂O₈ (Fa. Merck)
- TEMED....N,N,N',N'-Tetramethyläthylendiamin zur Synthese, C₆H₁₆N₂ (Fa. Merck)
- Citrat: Citronensäure-1-hydrat, C6H8O7 · H2O
- Lactat: Natriumlactatlösung, 50 % rein (Fa.Merck)
- Malat: Nalat DL, 2 M, Dinatriumsalz, C₄H₄Na₂O₅ (Fa. Merck)
- NAD....Triphosphopyridin Nucleotid, Coenzym II aus Hefe, beta-NAD (Fa. Sigma)
- MTT....(3-(4,5-Dimethyl Thiazolyl-2)-2,5-diphenyl Tetrozolium Bromid) (Fa. Sigma)
- <u>PMS</u>....5-Methylphenaziniummethylsulfat (Fa. Merck) <u>Stärke</u>: Electrostarch Co., Madison, Wis.

3. Ergebnisse

3.1.1. Kartographische Darstellung der Verbreitung von Rabenkrähe, Nebelkrähe und Hybriden

Der 10 x 10 km Raster im Untersuchungsgebiet umfaßt 247 Quadrate, wovon aus 135 (55 %) Daten vorliegen. Die Anzahl der Beobachtungen pro Planquadrat variiert stark, weil es für mich technisch nicht möglich war, alle Gebiete regelmäßig zu erfassen (s. Abb. 4). Bei einer Kontrollfahrt im Juli 1978 zeichnete ich auch die Planquadrate, wo keine Krähen von mir gesehen wurden, ein (Nullprobe). In der Karte sind diese Gebiete durch Schrägstriche gekennzeichnet. Rechnet man außerdem die Fläche des Neusiedler Sees und die Gebirgsanteile im Süden dazu, wo kaum Krähen vorkommen, ergibt sich eine Bedeckung des Untersuchungsgebietes von über 70 %. In einem 20 x 20 km Raster sind 76 % der Fläche erfaßt, nur Randgebiete bleiben offen. Die einzelnen Beobachtungspunkte sind in Karte 1 punktförmig festgehalten, um eine Gesamtüber-

sicht zu vermitteln. Durch die Fragestellung be-

dingt, wurde besonderer wert auf die Gebiete in

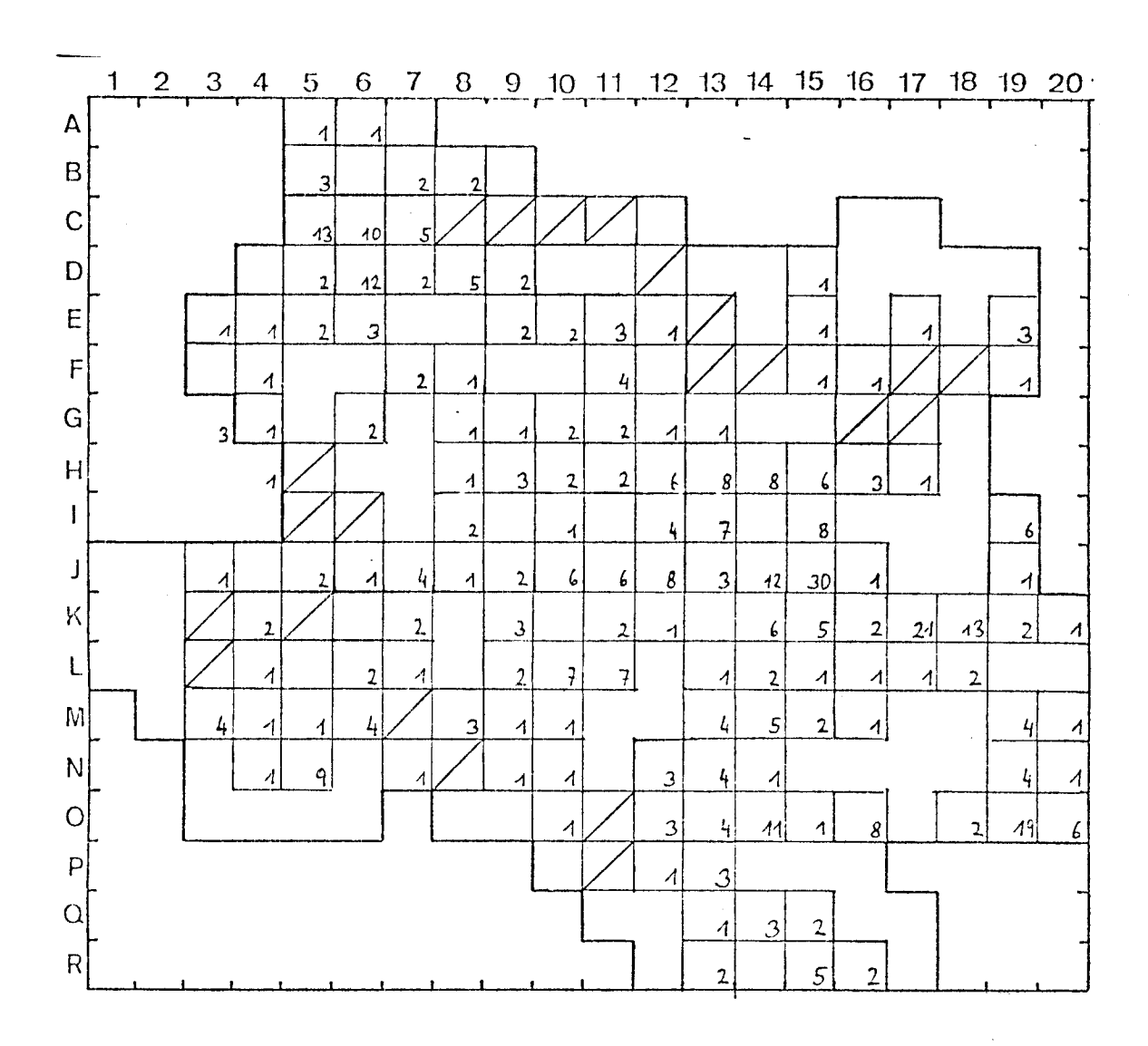


Abb. 4: 10 x 10 km Raster. Anzahl der Beobachtungstage pro Planquadrat. Schrägstriche bedeuten keine Beobachtung bei einer Kontrollfahrt im Juli 1978.

der Hybridzone gelegt.

In Abb. 5 und 6 gehen alle Beobachtungsdaten ein.

Ergebnisse der erfaßten Planquadrate beziehen sich hier nur auf die Anwesenheit auf der Probefläche (qualitativ):

nur Rabenkrähe	35 % der	erfaßten	Planquadr.
nur Nebelkrähe	17 %	_"-	
Hybriden	3 9 %	_11_	h. 🗖 . o/
Rabenkr. + Nebelkr.	8 %	_11_	47 %

Diese Angaben zeigen die flächenmäßigen Anteile der Krähen, sagen aber nichts über die Häufig-keit von Rabenkrähen, Nebelkrähen und Hybriden aus.

Die Hybridzone erstreckt sich vom nördlichen Waldviertel südöstlich zum Tullner Feld und zum östlich angrenzenden Wiener Wald, ändert ihren Verlauf in Richtung Süden, wo sie das Wiener Becken umfaßt und ungefähr zwischen Semmering und Wechsel die Grenze zur Steiermark erreicht. Aus Abb. 5 und 6 ist ersichtlich, daß einzelne Webelkrähen bzw. Rabenkrähen und Mischlinge

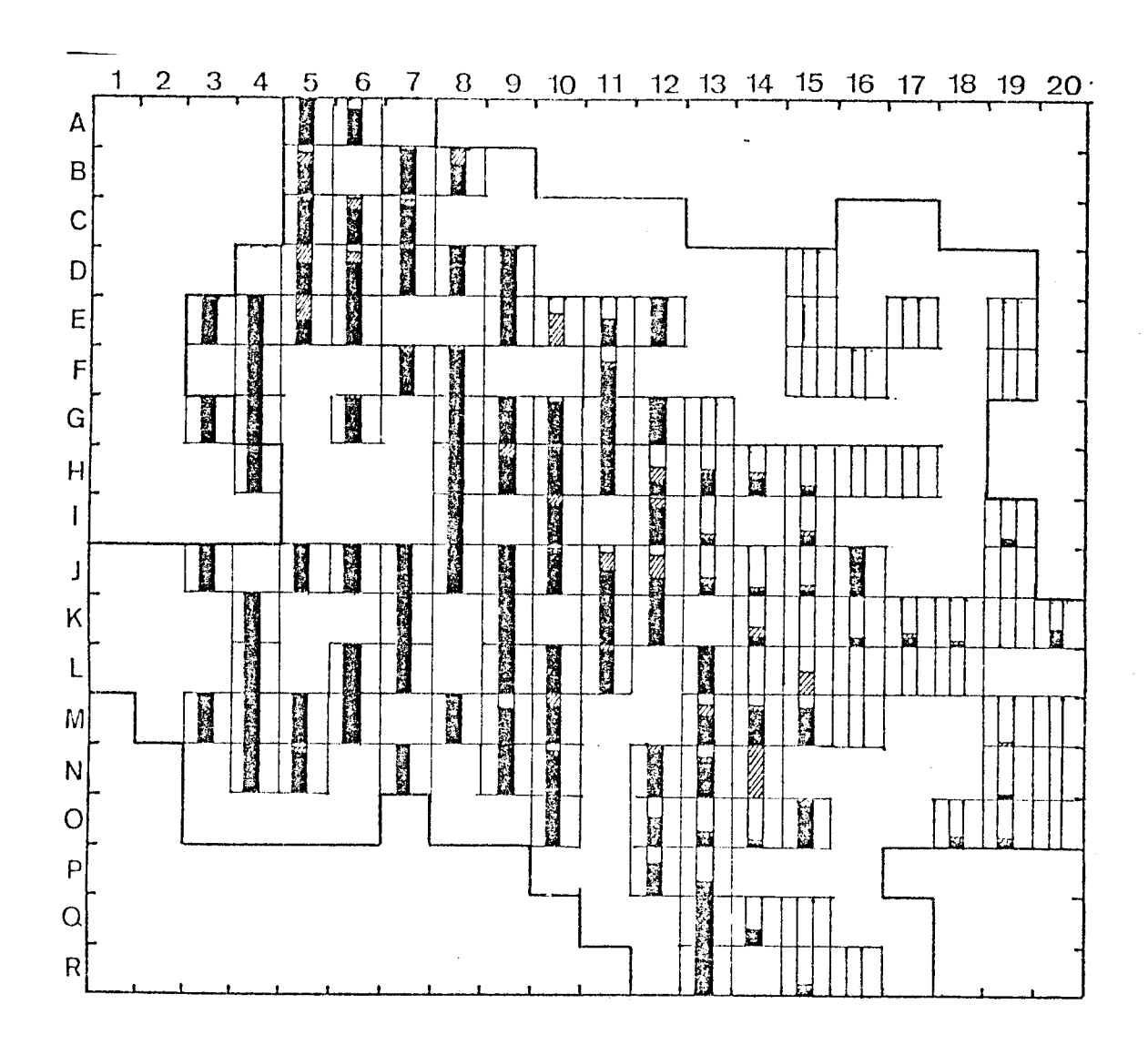


Abb. 5: 10 x 10 km Raster. Verteilung von Rabenkrähe, Nebelkrähe und Hybriden anhand aller
Beobachtungsdaten. Schwarz: Rabenkr., weiß:
Nebelkr., schraffiert: Hybriden. In den Säulen
sind die prozentuellen Anteile der 3 Typen
aufgetragen.

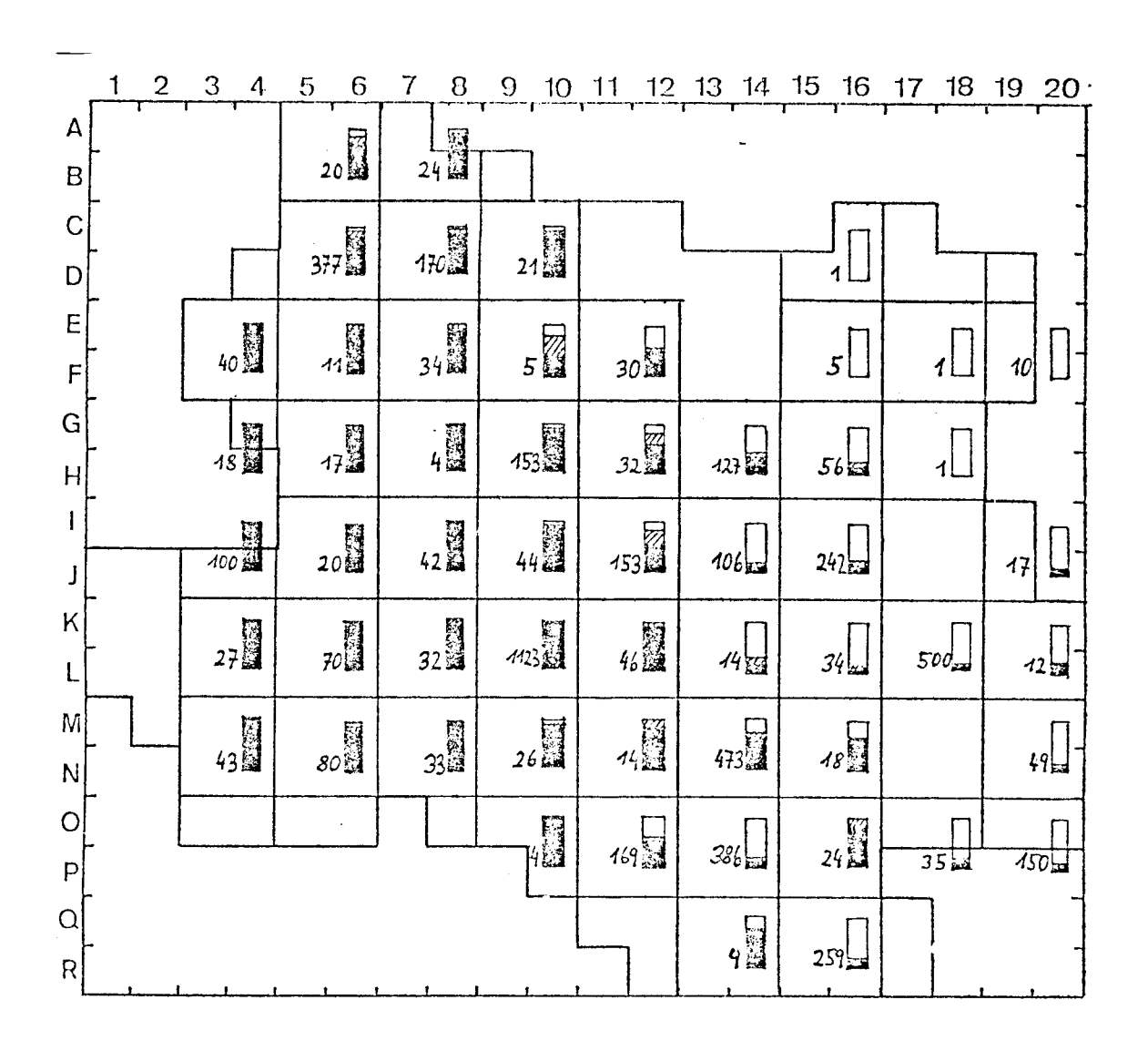


Abb. 6: 20 x 20 km Raster. Verteilung von Rabenkrähe, Mebelkr. und Hybriden anhand aller Beobachtungsdaten. Die Zahlen bedeuten die Summe der beobachteten Individuen. Sonst wie Abb. 5.

außerhalb ihres geschlossenen Verbreitungsgebietes vorkommen.

Um dieses Problem zu klären, trennte ich die Daten nach Sommer- und Wintervorkommen (s. Abb. 7 bis 10). Als "Sommer wählte ich die Zeit von April bis August. In dieser Zeit brüten die Krähen oder bilden einen Familienverband mit den Jungen und sind deshalb äußerst ortsgebunden. Ein anderes Auswahlkriterium war das relativ solitäre Verhalten während dieser Periode. Aaskrähen werden in Mitteleuropa als Strichvögel bezeichnet. die nur kurze, ungerichtete Wanderungen ausführen. Krähenschwärme konnte ich hauptsächlich zwischen September und März beobachten. Eine Fehlerquelle bilden die herumstreifenden Nichtbrüter. Der grundsätzliche Verlauf und die Ausdehnung der Hybridzone ändern sich während "Sommer" und "Winter" nicht, (s. Abb. 11).

In beiden Jahresabschnitten kommen vereinzelt
Rabenkrähen im Nebelkrähengebiet und umgekehrt
vor, bzw. Hybriden im geschlossenen Verbreitungsgebiet von Raben- und Nebelkrähe.

Drei Beobachtungen fallen besonders auf:

- 1) Nebelkrähen und ein Hybrid in Lunz am See
- 2) Rebenkrähen im Marchfeld und Rebenkrähen

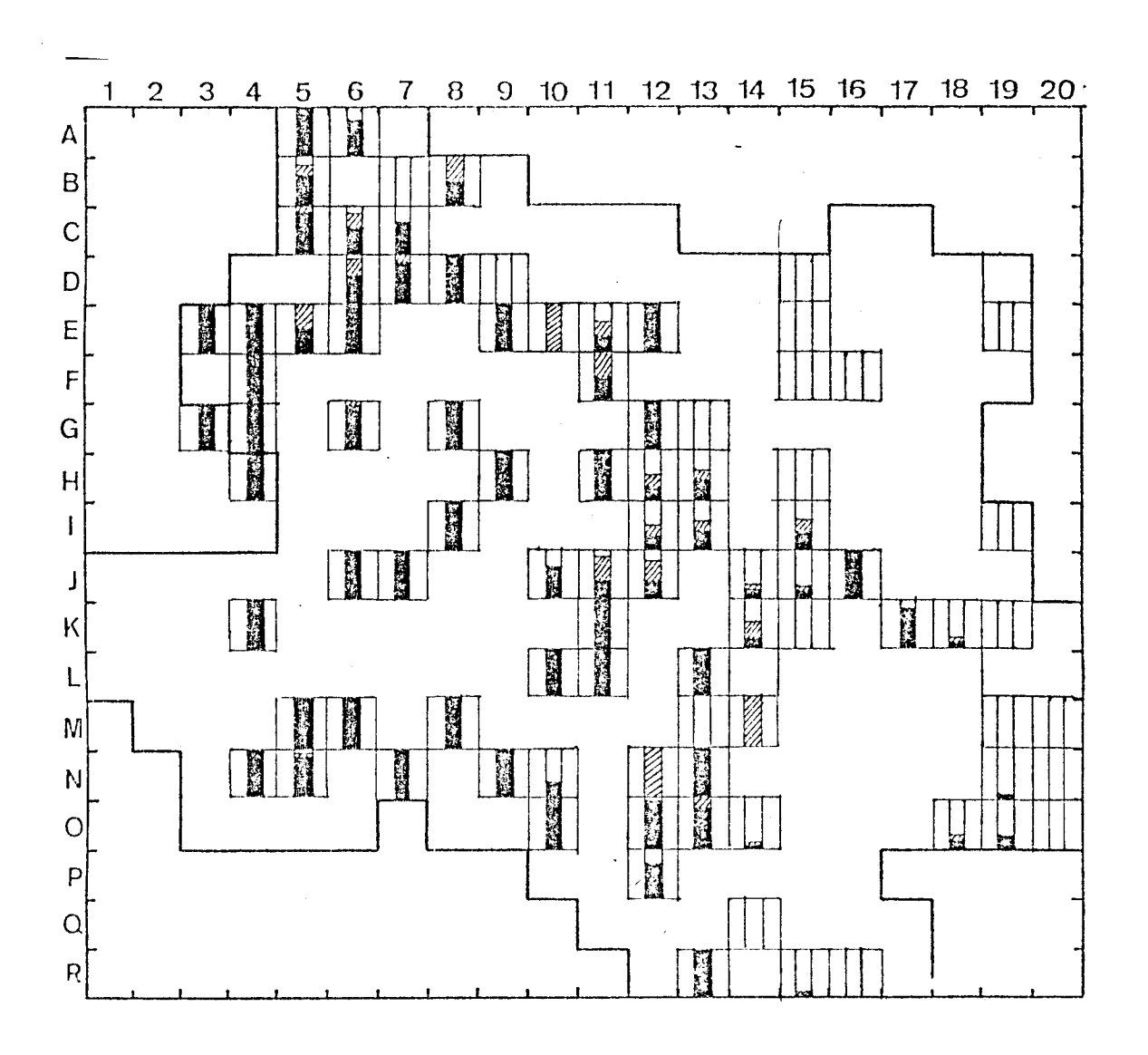


Abb. 7: 10 x 10 km Raster. Verteilung von Rabenkrähe, Hebelkr. und Hybriden zwischen April und August. Sonst wie Abb. 5.

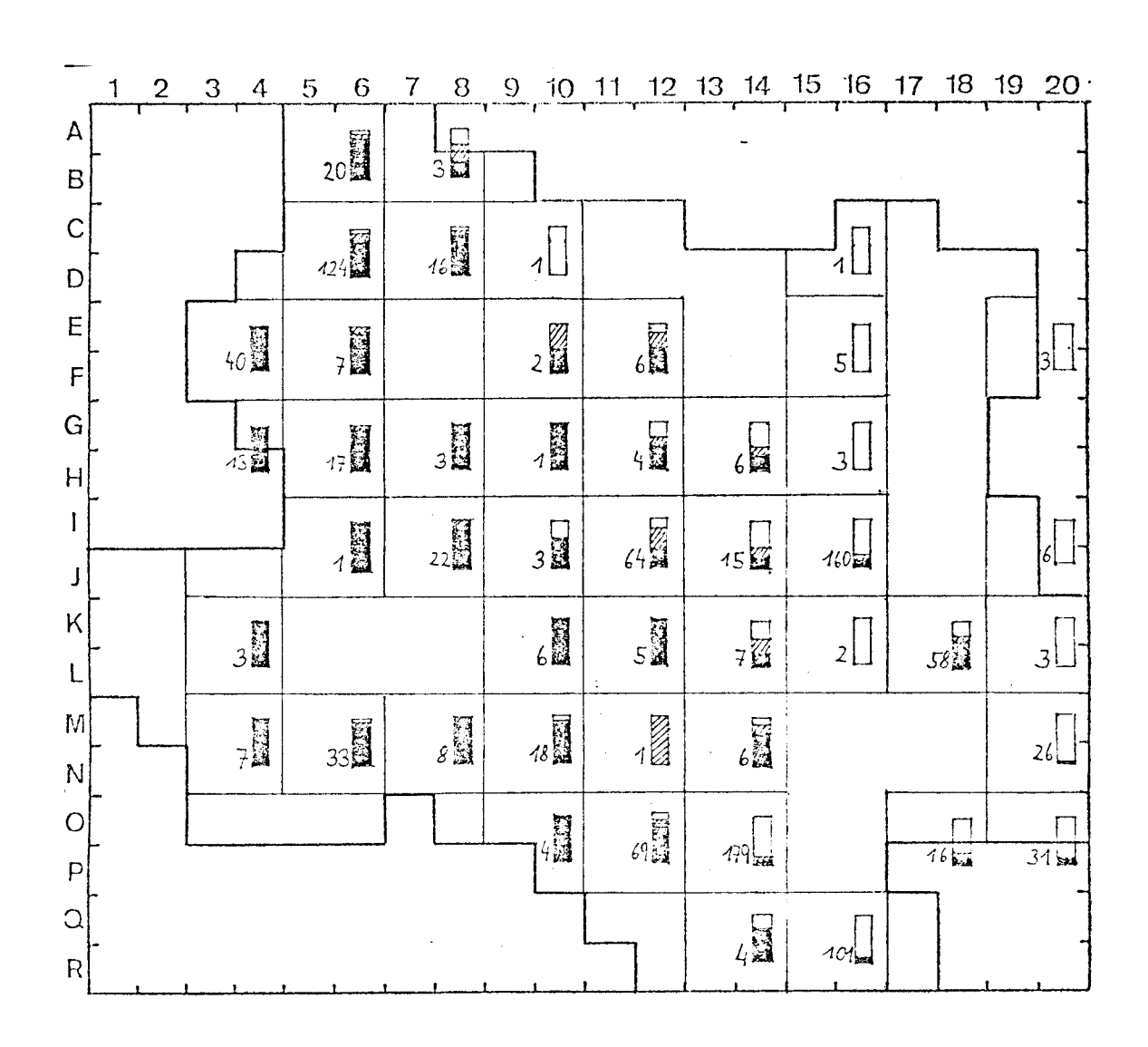


Abb. 8: 20 x 20 km Raster. Verteilung von Rabenkrähe, Nebelkrähe und Hybriden zwischen April und August. Sonst. wie Abb. 6.

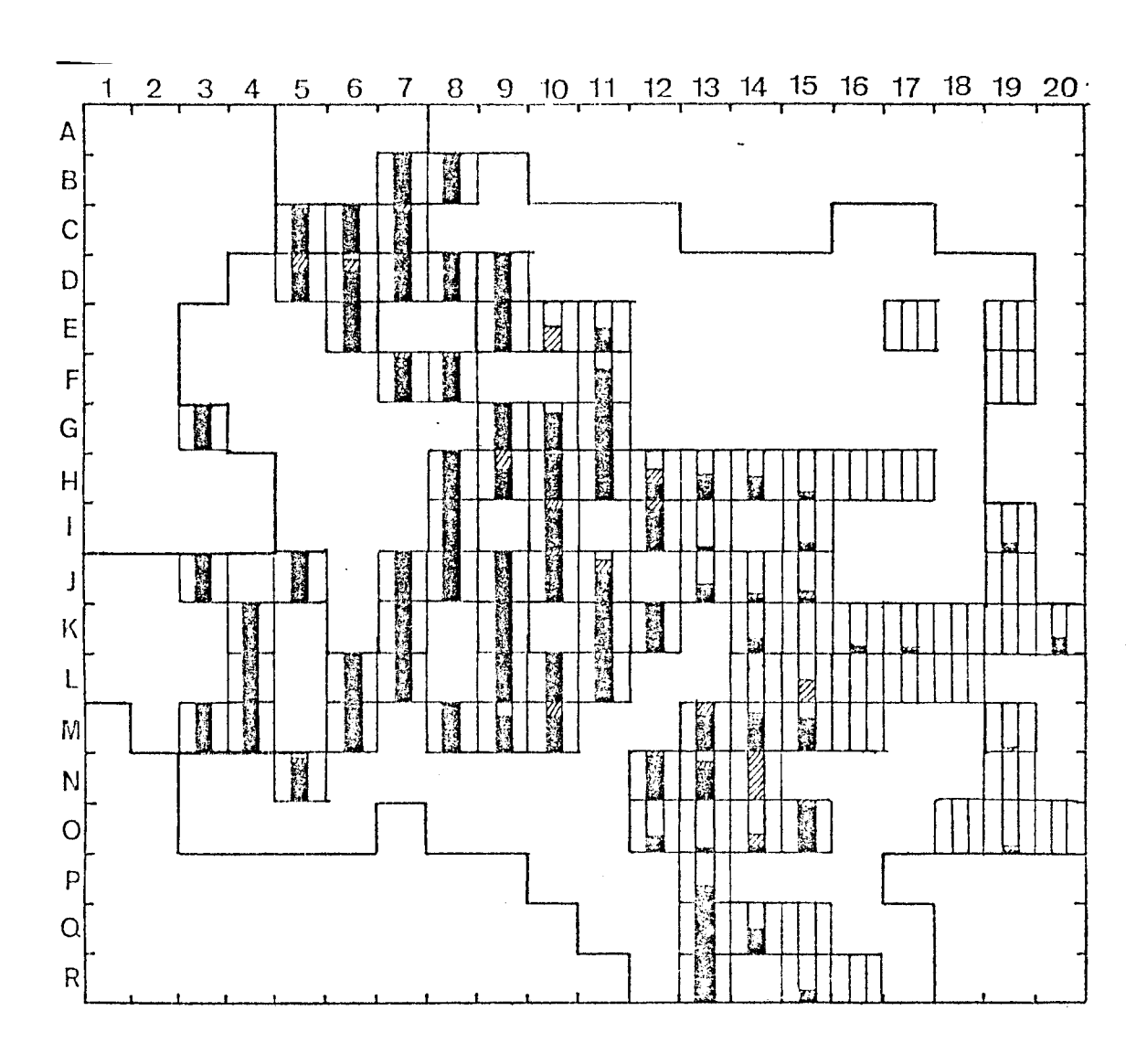


Abb. 9: 10 x 10 km Raster. Verteilung von Rabenkrühe, Mebelkrähe und Hybriden zwischen Sept. und März. Sonst. wie Abb. 5.

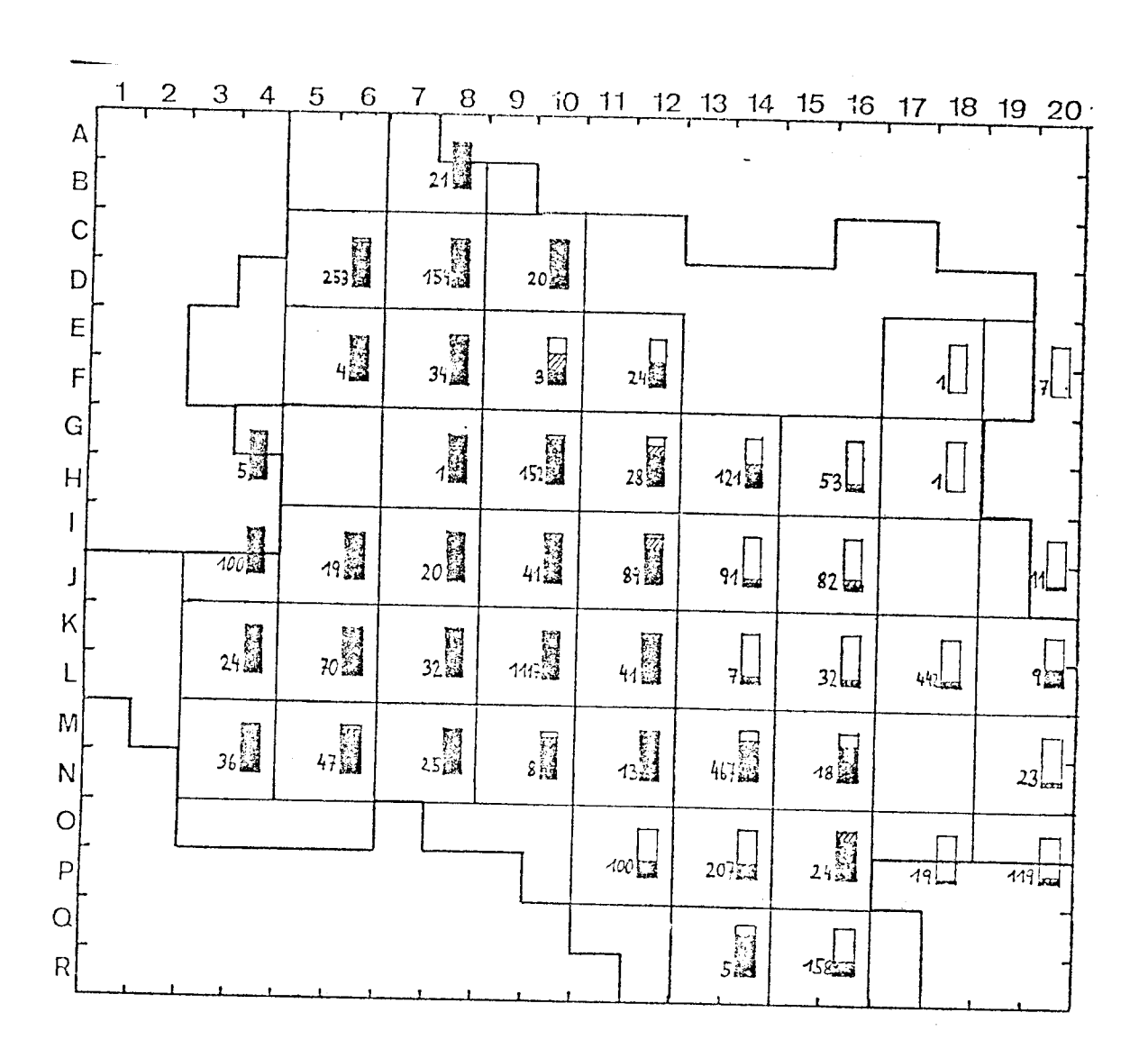


Abb. 10: 20 x 20 km Raster. Verteilung von Rabenkrähe, Nebelkrähe und Hybriden zwischen Sept. und Härz. Sonst wie Abb. 6.

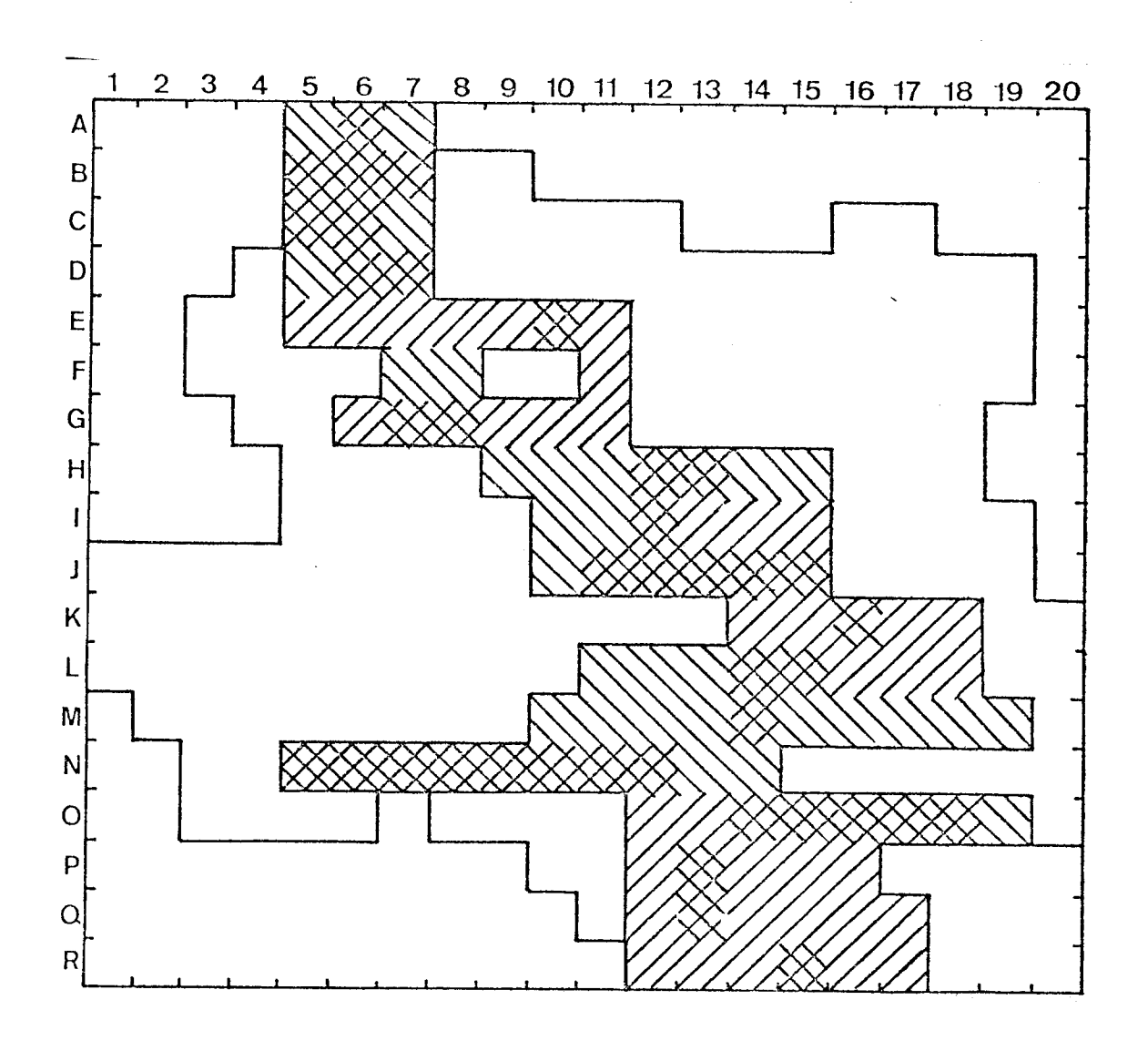


Abb. 11: 10 x 10 km Raster. Hybridzone.

Planquadrate mit westlichstem und östlichstem Hybridenvorkommen sind verbunden. /// April bis August, '// September bis März.

und Hybriden in den Donauauen östlich von Wien
3) Rabenkrähen und Hybriden östlich des Neusiedler
Sees

Das Donautal mit seinen Auwäldern stellt eine natürliche geographische und ökologische Einheit dar. Hier unternehmen die Krähen entlang eines für sie geeigneten Biotops ausnahmsweise größere "kanalisierte" Ortsveränderungen.

Vom Neusiedler See - Gebiet sind nur brütende Nebelkrähen bekannt. Rabenkrähen und Hybriden stellen wahrscheinlich herumstreifende Nichtbrüter dar.

Südlich der Donau kommen Nebelkrähen und Hybriden entlang von Tälern (Höllental, Triestingtal, Traisental) in von Rabenkrähen dominierten Gebieten vor. Aber es sind keine abgetrennten Vorkommen.

Nur Lunz am See bildet eine Ausnahme. 1976, 1977 und 1978 waren vereinzelt Nebelkrähen und ein Hybrid in Lunz zu sehen. 1977 meldete mir Dr. Jungwirt sogar ein Mischpaar aus Rabenkrähe und Nebelkrähe. Erst ca. 40 km weiter östlich wurden die nächsten Nebelkrähen beobachtet. Diese Distanz ist für Vögel nicht sehr groß; trotzdem

ist dieses isolierte Vorkommen weiter zu untersuchen.

Der Hybridgürtel ist abgesehen von den oben erwähnten Ausnahmen nirgends breiter als 100 km, eher enger (s. Abb. 11).

3.1.2. Relative Häufigkeit der Hybriden und der Raben- und Nebelkrähen in der Hybridzone

5511 Aaskrähendaten liegen vor. Davon sind 61 % Rabenkrähen, 35 % Nebelkrähen und nur 4 % Hybriden. Bemerkenswert ist, daß sogar auf den kleinen Flächeneinheiten (10 x 10 km Quadrate) mit einer Ausnahme (s. Abb. 5: N/14, nur 1 Beobachtung) nie Hybriden allein vorkommen, sondern immer in Gemeinschaft mit Rabenkrähen, Nebelkrähen oder beiden.

Aus der Summe der beobachteten Krähen pro Planquadrat errechnete ich die Prozentanteile der Hybriden, Raben- und Nebelkrähen, die in den Abbildungen als Blockdiagramme dargestellt sind. Je mehr Individuen in die Auswertung eingegangen sind umso wahrscheinlicher erscheinen auch die ermittelten Dominanzverhältnisse.

Zu deren Überprüfung dienten mir Angaben aus Wien über mehrer Jahre hinweg.

Dieses Planquadrat liegt an der östlichen Grenze der Rabenkrähenverbreitung. Abb. 12 zeigt, daß die Relation bei Beobachtung vieler Individuen konstant bleibt, wenn <u>alle</u> Aaskrähentypen berücksichtigt werden und seltene Hybriden nicht überbewertet werden.

Ein Vergleich der Quadrate, aus denen Sommerund Winterdaten vorliegen, ergibt folgendes: Es ändern sich nur die Prozentverhältnisse von Rabenkrähen, Nebelkrähen und Hybriden in der Mischzone. Der Anteil der Hybriden beträgt maximal 10 Prozent.

Zieht man zur Berechnung nur die Quadrate heran, in denen Hybriden gesehen wurden, ändert sich die Relation ebenfalls nicht. Sogar in der Mischzone beträgt der Anteil der Hybriden nur 7 Prozent, während Raben- und Nebelkrähen dominieren. Starke prozentuelle Hybridanteile in den einzelnen Flanquadraten und wenige Beobachtungen stehen überall in Zusammenhang.

Die Verteilung der drei Hybridtypen 2 bis 4 (s. Einleitung S.12)im Mischgebiet, weist keine besondere Regelmäßigkeit auf (s. Abb. 13).

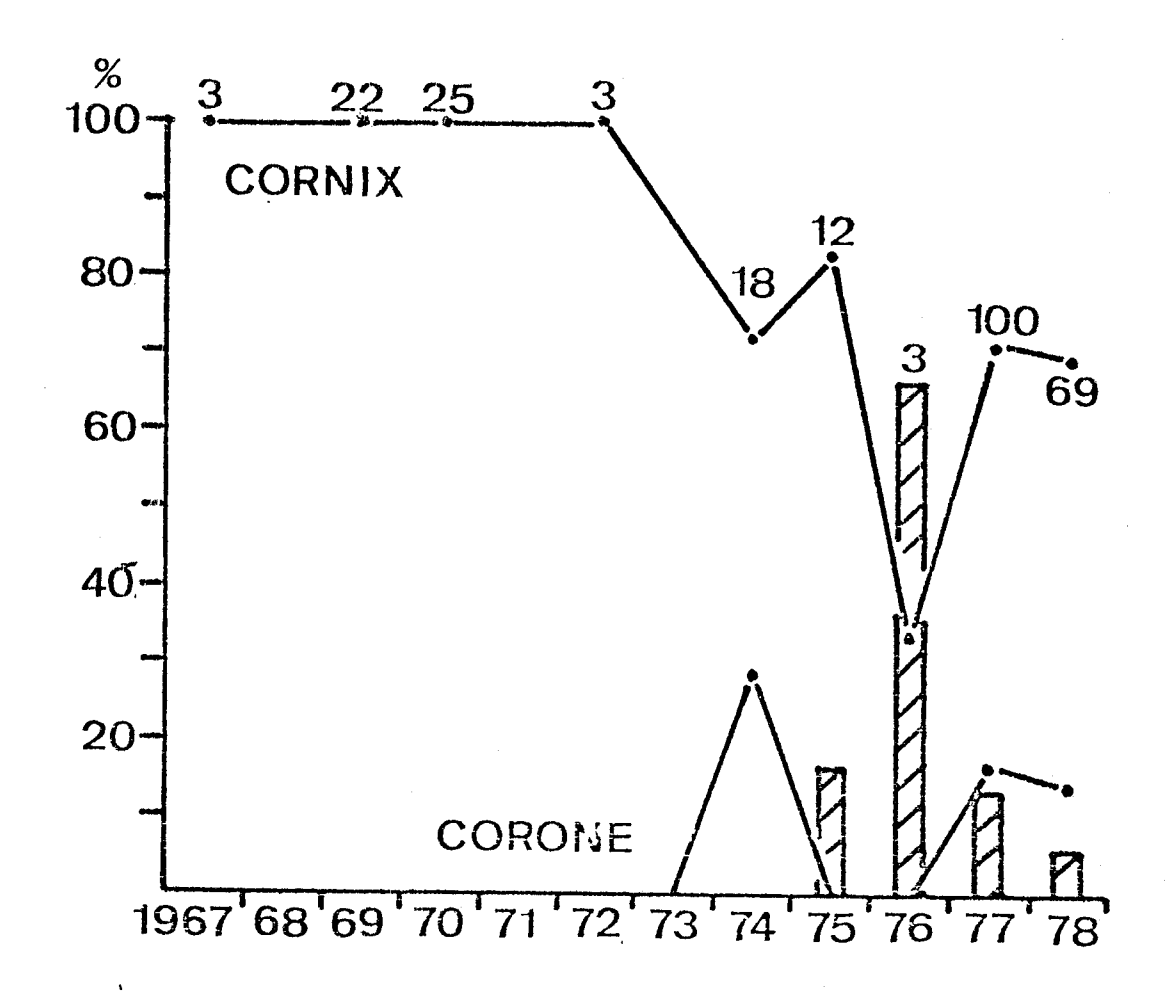


Abb. 12: Auszug aus Planquadrat IJ/15,16 (Wien).
Prozentanteile von Rabenkr., Nebelkr. und
Hybriden (Schraffiert) von 1967 bis 1978. Die
Zahlen bedeuten die Summe der beobachteten
Individuen.

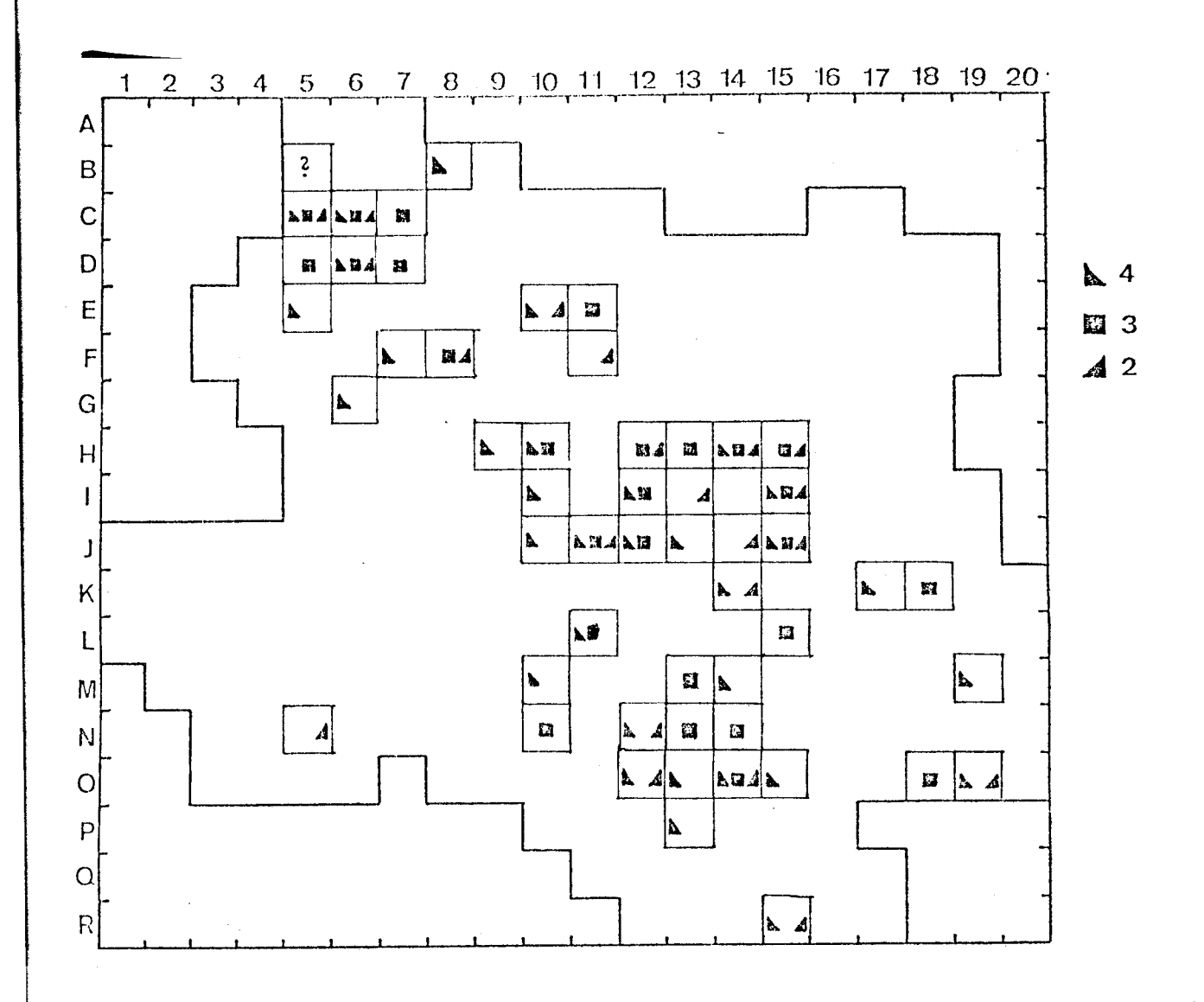


Abb. 13: 10 x 10 km Raster. Verteilung der Hybridtypen 2 - 4 anhand aller Beobachtungsdaten.

2: nebelkrähenähnlich, 3: intermediär,

4: rabenkrähenähnlich

In 8 Planquadraten kommen alle 3 Typen vor, in 3 nur nebelkrähenähnliche (Typ 2), in 14 nur rabenkrähenähnliche (Typ 4) und in 11 nur intermediäre (Typ 3) Hybriden.

"Krähentrupps" (mehr als 2 Individuen) mit Hybriden habe ich auf die Häufigkeit des Auftretens der Farbtypen (1 - 5) miteinander verglichen und die Häufigkeit als Anzahl der Beobachtungen ausgedrückt (s. Abb. 14).

Abb. 14: Häufigkeit des gemeinsamen Auftretens der 5 Farbtypen in "Krähentrupps" (mehr als 2 Individuen).

		7				
1	х					
2	2	5				
3	5	4	7			
4	4	2	4	12		
5	34	4	15	12	х	
	1	2	3	4	5	

Rabenkrähen und Nebelkrähen, die beiden "ursprünglichen" Formen, werden am häufigsten gemeinsam festgestellt, aber die Krähen realisieren
auch alle anderen Möglichkeiten. Auffällig erscheint,
daß Rabenkrähen öfters mit Hybriden vorkommen
als Nebelkrähen. Dieses Phänomen bedarf weiterer
Beobachtungen.

Mischpaare (Rabenkrähe x Nebelkrähe) wurden in Mauer (Wiener Wald, det. A. Grüll), Lunz (det. M. Jungwirt), Kottinghörmanns (Waldviertel, det. R. Hacker), Langenrohr (Tullner Feld, det. G. Aubrecht) und Roggendorf (bei Eggenburg, det. G. Aubrecht) gebildet. A. Grüll fand ein Brutpaar aus Rabenkrähe und einem Hybriden im Wiener Stadtpark. Leider wurde der Bruterfolg bei keinem dieser Fälle bekannt. Entweder erhielt ich die Nachricht zu spät oder es war unmöglich, die Jungen im Nest festzustellen.

Aus dem Untersuchungsgebiet liegt keine Beobachtung von miteinander brütenden Hybriden vor. 3.2. Ergebnisse der Messungen äußerer morphologischer Merkmale von Rabenkrähe, Nebelkrähe und Hybriden

Rabenkrähen, Nebelkrähen und Hybriden werden nach ihrer Gefiederfärbung bestimmt. Junge Krähen sind an der hellen Rachenfärbung erkennbar.

Individuen, die zur Berechnung herangezogen werden:

Nebelkrähe adult	11	Gruppe 1
Nebelkrähe jung	28	Gruppe 2
Rabenkrähe adult	3	Gruppe 3
Rabenkrähe jung	8	Gruppe 4
Hybriden adult	6	Gruppe 5
Hybriden jung	19	Gruppe 6

Die multiple Diskriminanzanalyse berücksichtigt in diesem Fall 10 Körpermerkmale (s. Methode).

1. Vergleich der morphologischen Merkmale:
Gruppe 1 - 4, Hybriden sind nicht einbezogen;
eine Trennung erfolgt zwischen jungen Rabenkrähen und adulten Nebelkrähen. Alle anderen
überschneiden sich in weiten Bereichen.

2. Vergleich:

Gruppe 1 - 6, alle Gruppen gehen in die Berechnung ein. Hybriden liegen weitgehend im Variationsbereich der Raben- und Nebelkrähen.

3. Vergleich:

Gruppe 2,4,6; nur junge Krähen werden zum Vergleich herangezogen. Alle drei Gruppen überlappen einander. Die Hybriden liegen weiter im
Nebelkrähen- als im Rabenkrähenbereich.

Wertung der Variablen durch F - Test:

Die Merkmale Flügellänge und Schnabellänge (gemessen vom Nasenloch) tragen am besten zur Trennung
der Krähentypen bei (Signifikanz bei der Flügellänge: 0.004 % Niveau, Schnabellänge: 0.3 % Niveau).
Auch die Schwanzlänge stellt ein signifikantes
Maß der (0.4 % Niveau).

Bei den jungen Krähen liegt der Trennwert bei den zwei Schnabelmaßen (Nasenloch, Schnabelgelenk) und bei der Flügellänge am höchsten (0.2 %, 2 %, 2 % Niveau).

3.3. Elektrophoretische Phänotypen

1) Gesamtserum

untersuchte Individuen:

Rabenkrähen 14

Nebelkrähen 37

Hybriden 2 14

Hybriden 3 7

Hybriden 4 12

In 81 Versuchen wurde jedes Individuum 2 bis 17mal getestet (810 Proben). 5 mikro 1, 10 mikro 1 und 15 mikro 1 Serum ergab, daß 10 mikro 1 die besten elektrophoretischen Muster erbrachten. Spannungen bis zu 200 V bei einer Laufzeit von ca. 90 bis 100 Minuten zeigten die schärfsten Auftrennungen.

Elektrophoretisches Serumbild der Aaskrähen: Abb. 15:

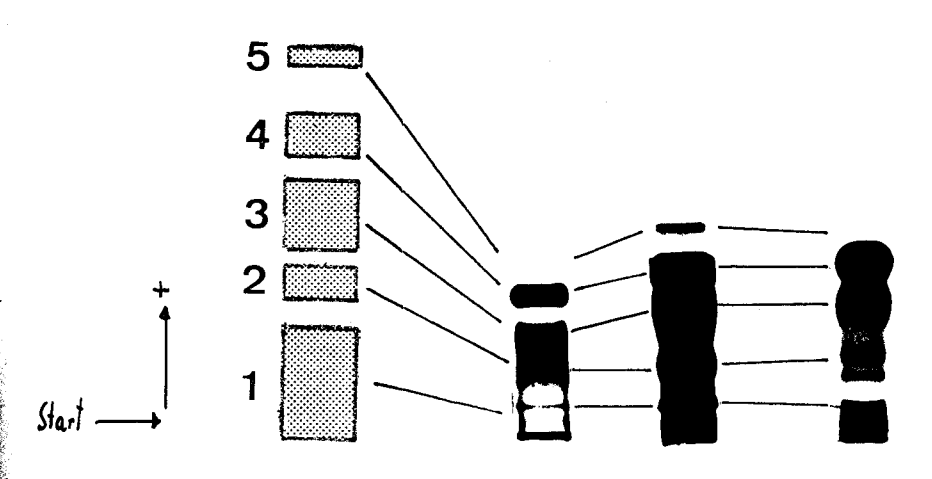


Abb. 15: Bändermuster von 3 verschiedenen Versuchen; links: schematische Einteilung in 5 Zonen

Photos: von links nach rechts Hybrid Typ 4,
Nebelkrähe, Hybrid Typ 3. Einander entsprechende
Zonen sind durch Striche verbunden.

- Zone 1: Die Region dieser Serumproteine umfaßt viele eng beieinander liegende Bänder, die schwer aufzutrennen sind und deswegen für eine Analyse ungeeignet erscheinen.
- Zone 2: Die auf halber Strecke zum Albumin (Zone 4)
 liegende Zone 2, liegt in Form einer langsam
 und einer schnell wandernden Fraktion vor.
 Es treten keine Unterschiede zwischen den
 Krähentypen auf.
- Zone 3: Diese Zone besteht offensichtlich aus einer Reihe hintereinander liegender Bänder, die sich auf Grund der relativ hohen Eiweißkonzentration nicht scharf voneinander abgrenzen lassen.

 Sie zeigt sich bei allen Krähentypen sehr einheitlich.

Zone 4: Das in diesem Bereich liegende Eiweiß ist gegenüber den anderen Serumeiweissen in deutlich höherer Konzentration vorhanden.

Entsprechend der Definition des Serumalbumins als 50 % bis mehr des Gesamtserums (vgl. DITTMER 1965), wird diese Zone als Albumin bezeichnet.

In der Wanderungsweite des Albuminbandes werden individuelle Unterschiede sichtbar.

Abb. 16:

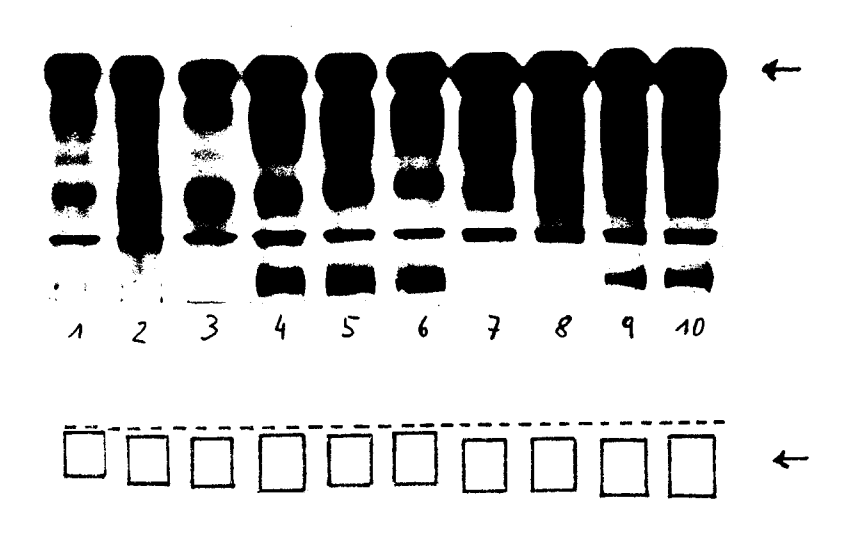


Abbildung 16 zeigt das elektrophoretische Muster des Nebelkrähenserums. Alle Tiere waren juvenil und stammten aus: 1 Breitenbuch, 2 und 3 (ein Individuum) aus Breitenbuch, 4 Kirchschlag,

5 und 6 (ein Individuum) aus Kirchschlag, 7 und 8 (ein Individuum) aus Stang, 9 und 10 (ein Individuum) aus Stang.

Die strichlierte Linie im Schema soll verdeutlichen, daß nicht alle Albuminfraktionen gleich weit wandern.

Spannung: 150 - 180 Volt bei 85 - 70 m Ampere

Laufzeit: 95 Minuten

Abb. 17:



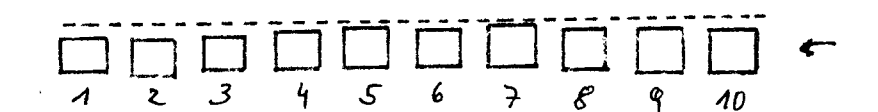


Abbildung 17 zeigt das Muster des Rabenkrähenserums. Alle Tiere waren juvenil und stammten
aus: 1 Breitenbuch, 2 Gmünd, 3 und 4 (ein Individuum)
aus Gmünd, 5 Rust, 6 und 7 (ein Individuum)
aus Rust, 8 Kirchschlag, 9 und 10 (ein Individuum)
aus Kirchschlag.

Spannung: 150 - 160 V bei 100 - 80 m Ampere

Laufzeit: 90 Minuten

Abb. 18:



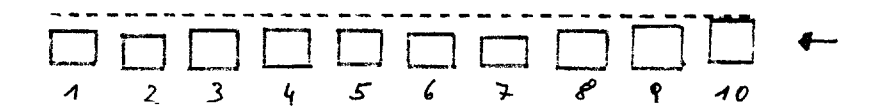


Abbildung 18 zeigt das Muster des Hybridserums.

Außer Individuum 10 befinden sich alle im Juvenilstadium und stammen aus:

1, 2 und 3 Rust, 4, 5 und 6 Wien, 7 St. Veit/ Gölsen, 8, 9 und 10 Stang.

Nr. 2, 10.....Typ 2

Nr. 1, 3, 4, 8..... Typ 3

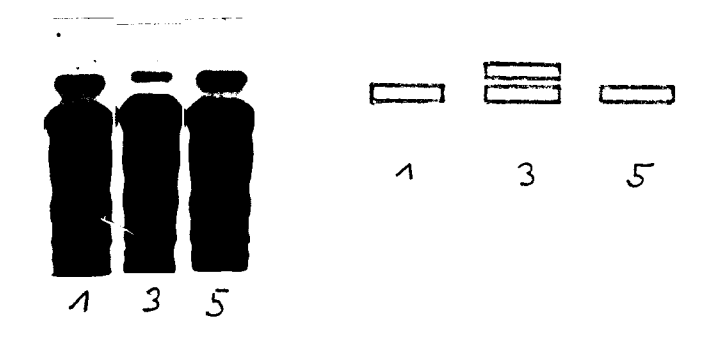
Spannung: 150 - 170 V, bei 85 - 70 m Ampere

Laufzeit: 85 Minuten

Alle Ubergänge zwischen langsam und weit wandernder Fraktion können festgestellt werden. Eine eindeutige Beziehung der Wanderungsweite des Albuminbandes zu Nebelkrähen-, Rabenkrähen- oder Hybridtyp besteht nicht (s. Abb. 16-18). Die Lage des Bandes variiert innerhalb der einzelnen Krähentypen. Die Unterschiede liegen offensichtlich auf individueller Ebene und sind nicht typen-spezifisch. Die relative Lagebeziehung der Albumine verschiedener Individuen bleibt methodisch unabhängig gleich.

Zone 5: Mindestens ein. Prealbuminband ist bei allen Krähentypen (1 - 5) zu finden. Es wird nur bei intensiver Anfärbung sichtbar. Nebel-krähen und Rabenkrähen weisen einheitlich ein Band auf, das bei beiden Typen auch gleich weit wandert (Abb. 19). Die Versuche deuten darauf hin, daß dieses Band aus einer schnelleren und einer langsameren Untereinheit besteht (s. Abb. 20).

Nur bei Hybriden des Typs 3 und 4 kann ein zusätzliches Band vorhanden sein, das deutlich weiter wandert (s. Abb. 19 und 20). Abb. 19:



Nebelkrähe (1): Stang, juvenil

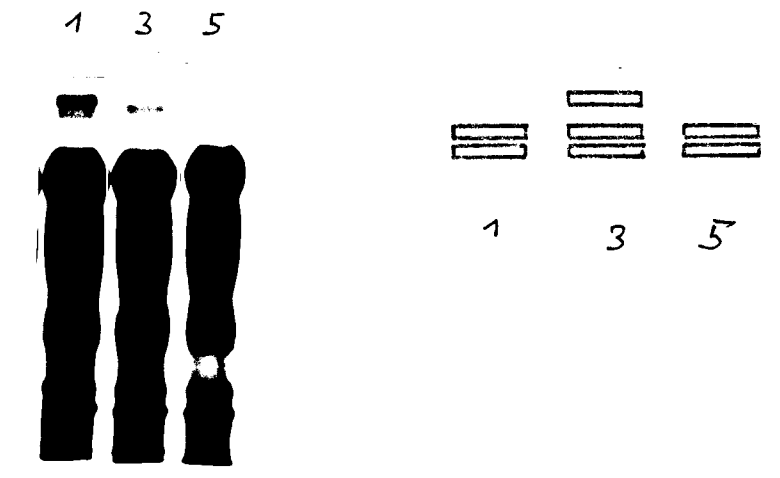
Hybrid Typ 3 (3): Rust, juvenil

Rabenkrähe (5): Gmünd, juvenil

Spannung: 190 Volt bei 100 mAmpere

Laufzeit: 85 Minuten

Abb. 20:



Nebelkrähe (1): Stang, juvenil

Hybrid Typ 3 (3): Wien, juvenil

Rabenkrähe (5): Gmind, juvenil

Spannung: 200 Volt bei 97 mAmpere

Laufzeit: 90 Minuten

Das Auftreten dieses "Hybridbandes" ist nicht spannungsabhängig (Versuche bei 140 V, 150 V, 190 V, 200 V). Dieses zusätzliche Prealbuminband, das weder bei Rabenkrähe noch bei Nebelkrähe auftrat, konnte allerdings nicht bei allen Hybriden nachgewiesen werden. Nur 6 von 33 Hybriden (18 %) zeigen das "Hybridband". Davon gehören 4 Individuen zum intermediären Typ (3) und 2 zum rabenkrähenähnlichen (4).

2) Malatdehydrogenase (MDH) - Stärkegelelektrophorese

In 5 Versuchen (Färbungsreaktion positiv) wurden 50 Froben von 30 Individuen untersucht.

Nebelkrähen: 5 aus Breitenbuch, 4 aus Kirchschlag

Rabenkrähen: 5 aus -"- , 1 aus -"-

Hybriden 2: 6 aus -"-

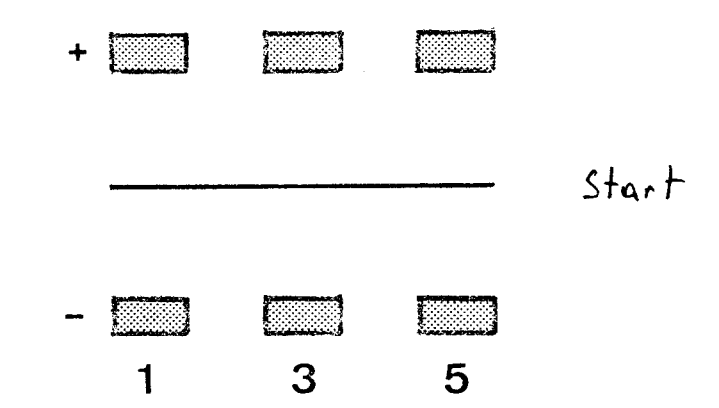
 H_{v} briden 3: 2 aus Kirchschlag, 2 aus Rust, 1 aus

Wien, 1 aus Stang

Saatkrähen: 3 aus Breitenbuch

Ein kathodisches und ein anodisches Band treten auf (Abb. 21). Zwischen den Krähentypen besteht kein Unterschied, auch nicht in Hinsicht auf Saat-krähen.

Abb. 21:
Elektrophoretisches
huster



Spannung: variiert zwischen 130 bis 160 V

Laufzeit: 230 - 265 Minuten

3) Lactatdehydrogenase (LDH) - Stärkegelelektroph.

In 6 Versuchen (positive Färbungsreaktion) wurden 60 Proben von 21 Individuen untersucht.

Nebelkrähen: 3 aus Breitenbuch, 1 aus Kirchschlag

Rabenkrähen: 4 aus -"- , 1 aus -"-

Hybriden 2: 2 aus -"-

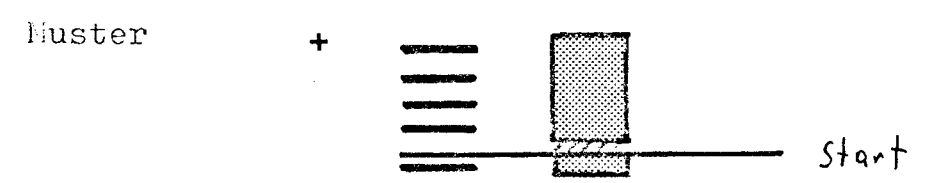
Hybriden 3: 2 aus Kirchschlag, 2 aus Rust, 1 aus

Wien, 1 aus Stang

Saatkrihen: 4 aus Breitenbuch

Abb. 22:

Elektrophoretisches



Die kathodische Fraktion bewegt sich kaum vom Start weg, während die anodische Fraktion weiter wandert (s. Abb. 22). Bei 5 Versuchen zeigten sich nicht weiter auflösbare Flecken (s. Abb. 22 rechts). Bei einem Versuch kamen 4 kathodische und 1 anodisches Band klar zum Vorschein (s. Abb. 22 links, 3 verschiedene Nebelkrähen). Zwischen den Krähentypen konnten keine Unterschiede festgestellt werden, auch nicht in Bezug auf Saatkrähen.

Spannung: variiert zwischen 140 V - 180 V

Laufzeit: 190 - 280 Minuten

3.4. Populationsgenetisches Modell zur Erklärung des Hybridgürtels zwischen Raben- und Nebel- krähen.

3.4.1. Einleitung und Voraussetzungen

Im Hybridgürtel, der zwischen dem Verbreitungsgebiet von Raben- und Nebelkrähe liegt, nimmt
der Anteil der Nebelkrähen von Osten nach Westen
sprunghaft ab. Reziprok dazu verhält sich der
Rabenkrähenanteil.

Es entsteht eine Merkmalsänderung (Gefiederfärbung), die nicht flach verläuft, sondern abgestuft.

Im Vergleich dazu ändern sich Umweltfaktoren, wie Klima, Meereshöhe und Vegetationsverhältnisse nicht so abrupt, sondern klinal.

MAYR (1970) bezeichnet die Hybridzone zwischen Raben- und Nebelkrähe als alt und beständig, findet aber keine Erklärung dafür.

Ein mathematisches Modell nach ENDLER (1973, 1977) und MAY et al. (1975) bezieht sich auf einige bekannte Faktoren und soll zur Lösung dieses Problems beitragen.

Erklärung der Parameter:

w: Breite der Hybridzone

Meine Ergebnisse weisen auf eine Breite von ca. 100 km hin (vgl. MEISE 1928, RICHTER 1958, DOBZHANSKY 1942, BERNDT-MEISE 1966).

Setzt man w mit der Distanz gleich, entlang der sich die Genfrequenz p für das Merkmal Gefieder-färbung (meßbar) ändert, werden hier zwei Nöglichkeiten berücksichtigt.

- Die Genfrequenz ändert sich innerhalb w von
 bis 1 (s. Abb. 23).
- 2) Die Genfrequenz ändert sich innerhalb w von 0.2 bis 0.8 (s. Abb. 24).

Fall 2) scheint für natürliche Populationen wahrscheinlicher, weil möglicherweise nicht alle Heterozygoten erkannt werden (EMDLER 1977).

MEISE (1928) verglich Museumsbälge (Berlin) und Freilandbeobachtungen von Hybriden aus der gleichen Mischzone und fand, daß durch Freilandbeobachtungen weniger Hybride festgestellt wurden als anhand der Balgsammlung.

FISHER (1950) errechnete für Fall 1) und 2) numerische Konstanten: K = 2.4 für 1) und K = 1.66 für 2).

g: Genflußrate

Genfluß wird definiert als "Die Bewegung von Genen und Genkomplexen und deren Einbau in allochthonen Genpools" (ENDLER 1977).

g ist somit der Wahrscheinlichkeitsgrad (O bis 1) des Austausches zwischen Individuen aus benachbarten Brutgebieten, die wieder Junge erzeugen. Durch die große Standorttreue der Altvögel wird die Wahrscheinlichkeit, daß Jungvögel nicht im Nest, wo sie geschlüpft sind, brüten, relativ groß (vgl. Beringungsdaten von BUSSE 1969, KALSCHREUTER 1970).

Biologisch sinnvolle Variablen sind somit g = 0.8, 0.9 (0.5, 0.6, 0.7, 1.0).

x: Genflußdistanz

 $\bar{\mathbf{x}}$ stellt die durchschnittliche Abwanderungsweite vom Geburtsort zum Brutort zwischen zwei aufeinanderfolgenden Generationen dar.

Beringungsergebnisse von BUSSE (1969), KALCHREUTER (1970), HOLYOAK (1971) und Angaben von WITTENBERG (1968) weisen darauf hin, daß die Abwanderung der Jungvögel ca. 10 km oder weniger weit führt und 90 % der Jungvögel sich innerhalb eines 25 km Radius ansiedeln.

Biologisch sinnvolle Variablen sind somit $\bar{x} = 10, 15$ (20, 25) km.

Weitere Faktoren, die berücksichtigt werden müssen, sind die <u>Paarungsverhältnisse</u> und die <u>Abwanderungs-richtung</u> der Jungen.

HEINROTH (1924), MEISE (1928) und MAYR (1970)
nehmen zufällige Paarung zwischen den verschiedenen
Krähentypen an. Auch meine Beobachtungen von
Mischpaaren (Rabenkrähe x Nebelkrähe) weisen
derauf hin, daß eine Bevorzugung bei der Paarbildung nicht stattfindet.

Nach Angaben von BUSSE (1969) und KALCHREUTER (1970) ist auch die Abwanderungsrichtung der Jungvögel zufällig verteilt.

Ein Selektionsgradient, der senkrecht zum Hybridgürtel verläuft, erscheint durch die Lage des
Hybridgürtels der Aaskrähen und das Zusammentreffen mit anderen Hybridzonen in dieser geographischen Region wahrscheinlich (s. Diskussion).
Ich stütze mich dabei auf Angaben von COOK (1975)
und MAYR (1970), wonach klimatische Bedingungen
und eventuell Höhenstufen als Selektionsfaktoren
bei den Aaskrähen in Betracht kommen.

Δist ein Maß für die räumliche Selektionsänderung, d.h. für die Distanz, innerhalb der die Fitness der Homozygoten (O bis 1) als Funktion des Selektionsfaktores s (1 bis 0) ungleich 1 ist (s. Abb. 23, 24).

Die sich kontinuierlich ändernden Umweltverhältnisse und die <u>abgestufte Merkmalsänderung führen zur</u> Annahme, daß w kleiner als Δ ist (stepped gradient model).

b: Anstieg des Selektionsgradienten von O bis 1 innerhalb der Distanz Δ (b = tg λ , s. Abb. 23, 24)

s: Abstand zwischen b und Δ (s. Abb. 23, 24)

Wenn die Merkmalsfrequenz (Abnahme von Rabenkrähen und Zunahme von Nebelkrähen von Westen nach Osten) symmetrisch verläuft (eigene Ergebnisse s. Abb. 26, vgl. MEISE 1928) und der Selektionsgradient kontinuierlich verläuft, ist die Fitness der Homozygoten im Abstand Δ /2 vom Mullpunkt (Zentrum der Hybridzone) gleich 1 bzw. 0 (s. Abb. 23, 24). b ist ein Faktor dieses Modells, seine tatsächliche Bedeutung soll diskutiert werden.

Das Modell beruht außerdem auf der Annahme, daß die Fitness der Heterozygoten (Hybriden) intermediär ist und kein Nerkmal der Gefiederfärbung dominant ist.

3.4.2. Mathematische Ausführung

Formel 1 nach ENDLER (1977):

$$w = K \left(\frac{z}{x} g \right)^{1/3}$$

bekannte Faktoren: w, x, g, K

gesuchter Faktor: b

daraus ergibt sich folgende mathematische Umformung:

$$b = \frac{K^3 \bar{x}^2 g}{W^3}$$

Formel 2 nach ENDLER (1977):

$$s = b\Delta$$

ergibt $\Delta = \frac{s}{b}$ ergibt bei Fitness = 0 s = 1 deher $\Delta = \frac{1}{b}$

Aus den konkreten Daten ergeben sich folgende Werte für Δ /2 :

Tab. 1:

w = 100

K = 2.4

\bar{x}	10	15	20	25	
g					
1	362	161	91	58 k	m
0.9	402	179	101	65	
0.8	<u>452</u>	201	113	73	452 s. Abb. 25
0.7	517	230	129	83	
0.6	603	268	151	97	
0.5	724	322	181	116	

Tab. 2:

w = 100

K = 1.66

$\overline{\mathbf{x}}$	10	15	20	25				
g								
1	1093	486	274	175				
0.9	1215	540	304	195				
0.8	1367	608	342	219	1367	s.	Abb.	24
0.7	1562	694	391	250				
0.6	1822	810	456	292				
0.5	2186	972	547	350				

Abb. 23: schematische Darstellung für den Modell- fall K = 2.4, w = 100, \bar{x} = 10, g = 0.8 vgl. Tab. 1; b = tg, \hat{p} ändert sich von 1 bis 0

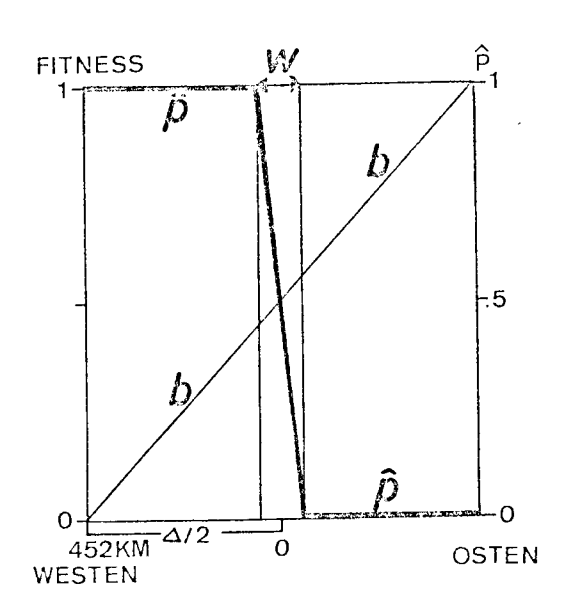
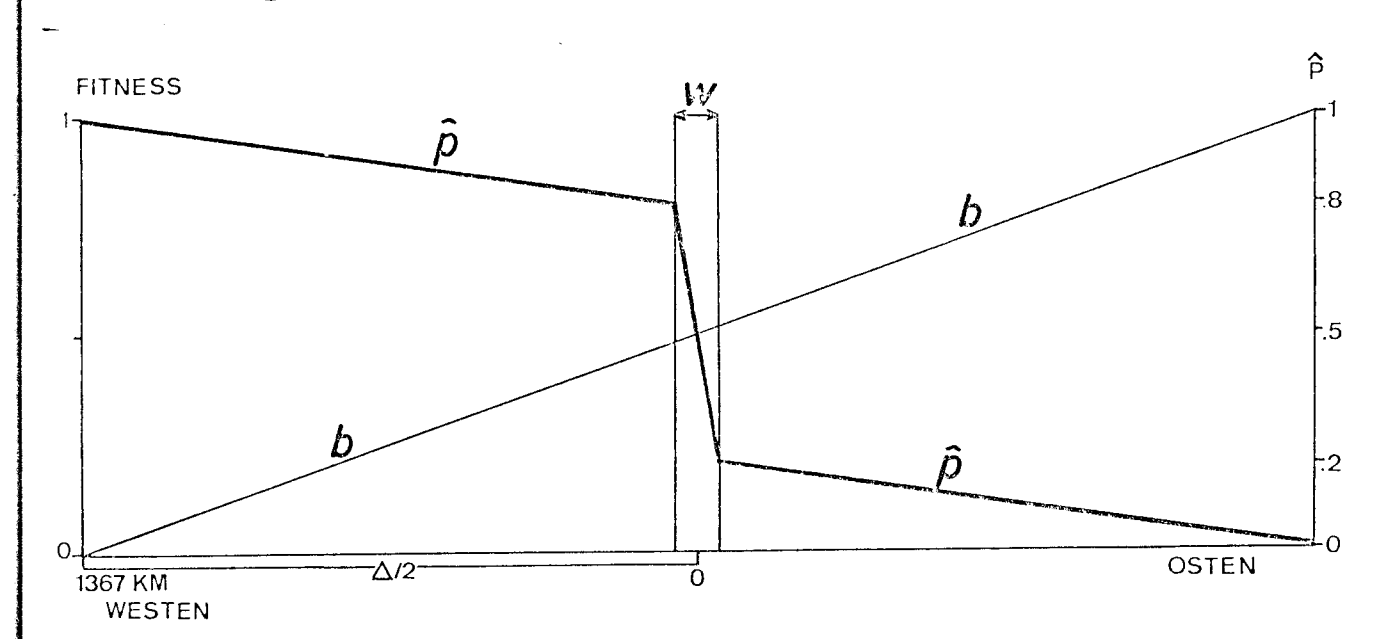


Abb. 24: schematische Darstellung für den Modell- fall K = 1.66, w = 100, \bar{x} = 10, g = 0.8 vgl. Tab. 2:; b = tg , \hat{p} ändert sich von 0.8 bis 0.2



Die klinale Änderung der \hat{p} - Werte ist im Modell linear dargestellt. Tatsächlich nähern sich die \hat{p} - Werte asymptotisch dem Wert 1 bzw. 0. Ändert sich die Genfrequenz im Hybridgürtel (100 km) von 0.8 auf 0.2, ergibt sich bei g = 0.8 und \bar{x} = 10 ein relativ flacher Selektionsgradient (Δ = 2734 km). Δ /2, die Distanz vom Nullpunkt, in der die Fitness der Homozygoten 0 bzw. 1 ist, beträgt danach 1367 km (s. Abb. 24). Bei einer Genfrequenzänderung von 0 auf 1 im Hybridgürtel (100 km) bei g = 0.8 und \bar{x} = 10 liegt ein steilerer Selektionsgradient vor: Δ /2 = 452 km (s. Abb. 23).

Aus den Tabellen 1 und 2 zeigt sich, daß die Genflußdistanz (Abwanderungsweite der Jungvögel) \bar{x} den hypothetischen Selektionsgradienten b stärker beeinflußt als die Genflußrate g (Wahrscheinlichkeitsgrad des Austausches zwischen Individuen aus benachbarten Brutgebieten) es tut.

Bereits ein flacher Selektionsgradient über einige hundert Kilometer führt in diesem Modell dazu, daß eine stark abgestufte Merkmalsänderung in einer Hybridzone im Gleichgewichtszustand vorliegen kann.

4. Diskussion

4.1. Vergleich der Ergebnisse mit faunistischen Untersuchungen des Hybridgürtels, sowie Diskussion über die Fertilität der Hybriden und deren Anteil im Mischgebiet

Durch die Übertragung der Daten von NEISE (1928) in das 20 x 20 km Rastersystem (s. Abb. 25) ist es möglich einen direkten Vergleich der Verbreitung von Aaskrähen (Corvus corone L.) in Niederösterreich aus der Zeit der Jahrhundertwende bis 1928 und im Zeitraum von ca. 1975 bis 1978 anzustellen. Ich wählte einen Transekt, der Niederösterreich entlang der Donau durchschneidet, weil aus diesem Gebiet die meisten Daten von MEISE vorliegen (s. Abb. 26).

Während nach Angaben von MEISE das Zentrum des Hybridgürtels ungefähr bei Krems gelegen ist, befindet es sich nach meinen Beobachtungen derzeit im östlichen Tullner Feld.

METSE registrierte bis Amstetten Nebelkrähen.

Dieses Gebiet wird derzeit nur von Rabenkrähen
besiedelt. Außerdem liegen meine Hybridbeobachtungen
weiter östlich als die von METSE.

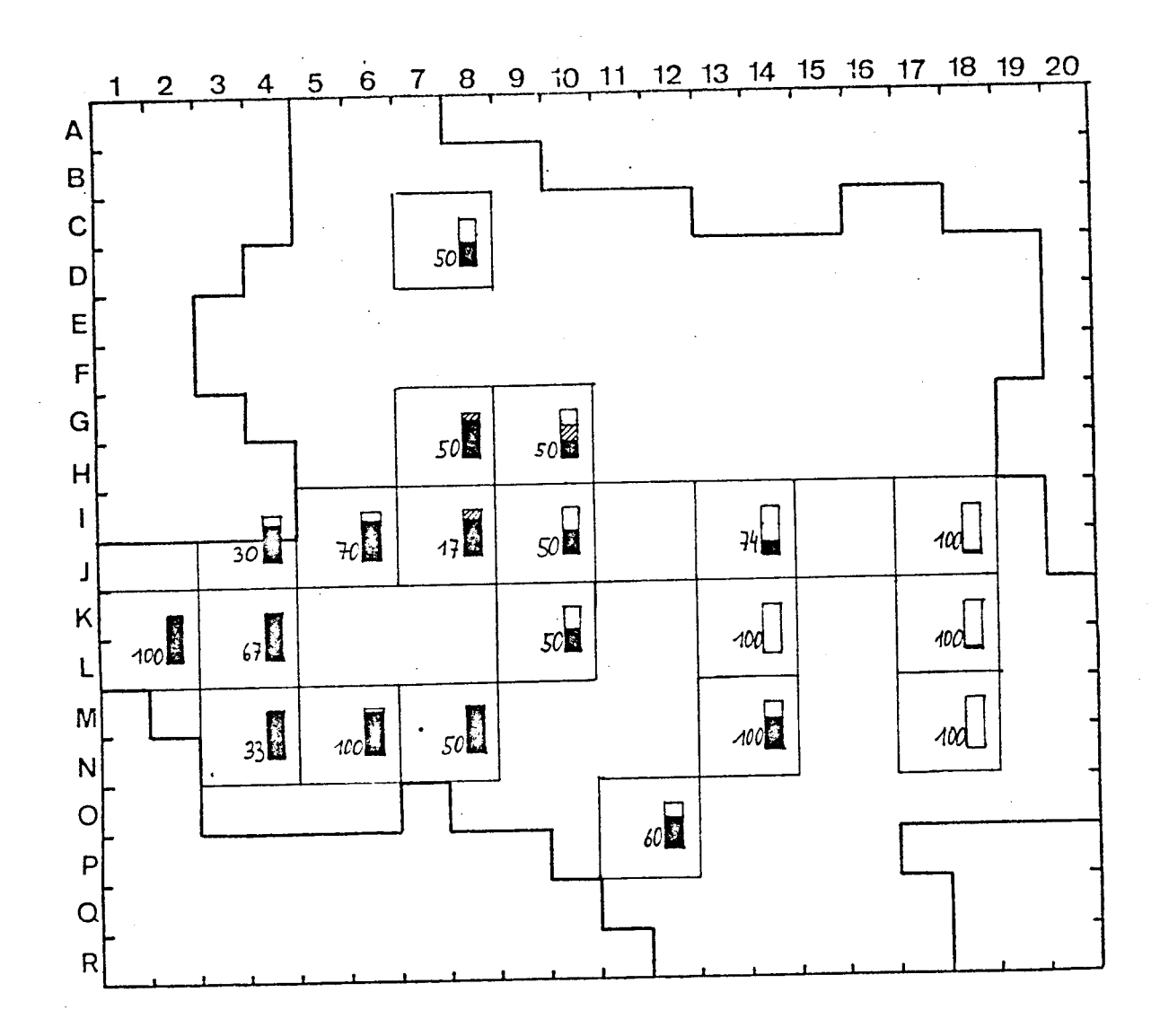


Abb. 25: 20 x 20 km Raster. Übertragung der Daten von MEISE (1928) in das von mir verwendete Rastersystem.

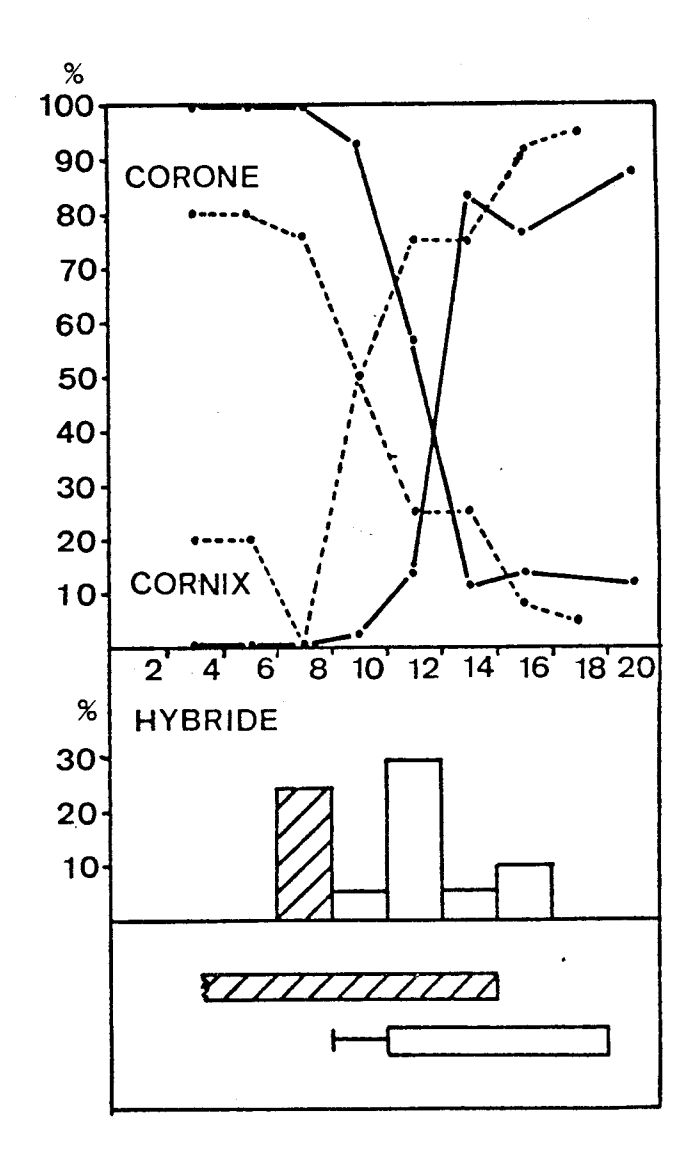


Abb. 26: Vergleich meiner Beobachtungsdaten mit
Angaben von MEISE (1928). Gewählt wurde der
Transekt IJ (vgl. Abb. 25) durch Niederösterreich.
Punktiert und schreffiert: umgezeichnet nach
MEISE. Durchgezogene Linie und weiß: eigene Daten.

WETTSTEIN (1919, 1928) und ASCHENBRENNER et al. (1956) geben für die Vogelwelt des Schönbrunner Schloßparks bzw. für Wien nur die Nebelkrähe als Brutvogel en. Im Gegensatz dazu berichten bereits MARSCHALL (1882), EDER (1908) und MINTUS (1928) von brütenden Rabenkrähen und Hybriden-vorkommen in Wien. Derzeit kommen Mischpaare in Wien vor, wenn auch selten.

MINTUS (1928) weist auf Hybriden im Tullner Feld, in den Leiser Bergen und im Wiener Wald hin, EDER (1908) berichtet von Mischlingen in den Donauauen bei Wien. TOMEK (1939) beobachtete Nebelkrähen und Rabenkrähen im Schneeberggebiet. Die Verbreitung der Rabenkrähe in der Gegend südlich von Ybbs, im Gölsental, bei Lilienfeld, Turnitz, Gaming und Lackenhof war schon EDER (1908), MARSCHALL (1928) und MINTUS (1928) bekannt. Meine Beobachtungen, verglichen mit den Angaben von MEISE (1928), weisen auf eine Änderung des Zentrums des Hybridgürtels hin. Dieses liegt heute um ca. 40 km nach Osten versetzt. In Schottland (COOK 1975) verschob sich die Hybridzone um ca. 100 km nach Nordwesten, verglichen mit der Verbreitungskarte von MEISE (1928). Klimatische Faktoren werden als Erklärung angeführt. WEISE (mündl. Mitteilung) bezweifelt dort eine Verschiebung, weil das alte Datenmaterial nicht alle Gebiete so genau erfaßt wie die neuen schottischen Erhebungen (SHARROCK 1976).

HÖLZINGER et al. (1970) berichten, daß in Baden-Würtemberg Nebelkrähen noch bis in die 30er Jahre wesentlich häufiger auftraten als heute. Nach BECKNANN (1964) soll die Nittellinie der Mischzone in Schleswig Holstein geringen Schwankungen unterworfen sein. Da aber in Niederösterreich alle Hybridbeobachtungen im Bereich oder am Rand des derzeitigen Mischgebietes liegen, dürfte eine Verschiebung des Hybridgürtels nicht stattgefunden haben.

Ungeklärt war bis jetzt der Verlauf des Hybridgürtels zwischen Raben- und Nebelkrähe in Niederösterreich nördlich der Donau. Das Hybridenvorkommen im Waldviertel konnte ich durch meine
Untersuchungen gut abgrenzen. Das südwestliche
Waldviertel ist ebenso reines Rabenkrähengebiet
wie das an Niederösterreich angrenzende Mühlviertel.
Für MEISE (1928) lagen aus diesem Gebiet kaum
Daten vor, sodaß die Linie zwischen den Hybridvorkommen in der Tschechoslowakei und an der
Donau ziemlich ungenau beschrieben war.

Durch die Untersuchungen im Waldviertel wurde wieder eine Lücke im Verlauf der Hybridzone geschlossen.

Im Gebiet entlang der Donau, von wo viele Stichproben vorliegen, ist der Hybridgürtel etwa 100
Kilometer breit. Da hier keine geographischen
Schranken, z.B. Gebirge vorliegen, dürfte diese
Zone für Mitteleuropa durchaus representativ sein.
Für Niederösterreich halte ich deshalb eine angenommene Breite des Hybridgürtels von 75 km für
zu wenig und 150 km für zu viel (vgl. MEISE 1928).

Die relativen Dominanzverhältnisse zwischen Rabenkrähen, Nebelkrähen und Hybriden bleiben im Sommer
und Winter in meinem Beobachtungsgebiet ähnlich.

Da Aaskrähen in Mitteleuropa als Standvögel oder
Strichvögel bezeichnet werden (vgl. MELDE 1969),
steht dieser Befund damit in Einklang.

Das Mischpaar und die Hybridbeobachtung in Lunz
lassen sich durch zufällige Abwanderung von Nebelkrähen erklären. Durch die dortige geographische
Lage (umgeben von Gebirgsmassiven) isoliert wurden
sie seßhaft. In diesem Gebiet konnte ich drei
Jahre lang immer wieder einzelne Nebelkrähen

beobachten. Ihr weiteres Verbleiben zu verfolgen, wäre interessant. Daß in einem Rabenkrähengebiet Nebelkrähen oder Hybriden durch Rückkreuzung von Rabenkrähen mit heterozygoten Individuen spontan auftreten, scheint mir sehr unwahrscheinlich.

Kein derartiger Fall wurde bis jetzt nachgewiesen.

Dagegen berichten bereits MEISE (1928), DUBOIS (1974), STANESCU (1966), WARNCKE (1968) und NOTHDURFT (1976) von Nebelkrähen im Rabenkrähengebiet und umgekehrt. Seltene Fernfunde sind auch durch Beringungsdaten (KALCARAUTER 1970, BUSSE 1969, HOLYOAK 1971) erwiesen.

Meine Befunde aus Niederösterreich weisen auf einen Hybridenanteil von ca. 10 % bis weniger hin. Anhand lokaler Beobachtungen berichtet MEISE (1928) von 13 % und 20 % Mischpaaren in der Hybridzone. Folgende Prozentsätze des Hybridanteils in verschiedenen Populationen sind bekannt:

PICOZZI (1976): 40 % in Kincardineshire in Schott-

STEINIGER (1950): 2/3 Hybriden in Südtondern in Schleswig Holstein

land

RICHTER (1958): 27.7 % in Mittelmecklenburg
AUSOBSKY & MAZZUCCO (1964): 25 - 30 % "Nebel-

kräheneinschlag", Anteil an der Gesamtpopulation nirgends über 1 % im Lungau.

MEISE (1928) fand bei Untersuchungen von Bälgen aus einem Mischgebiet mehr Hybriden als bei Freilandbeobachtungen.

Meine Daten beziehen sich nicht auf Brutpaare, sondern auf die Gesamtzahl der beobachteten Vögel. Die starke Streuung führe ich auf die verschiedenen Größen der Untersuchungsgebiete zurück. Zwischen einzelnen Planquadraten variiert der Hybridanteil auch bei meinen Daten.

Das häufigere Auftreten von dunkleren als hellen Hybriden mit Rabenkrähen und Nebelkrähen bzw. untereinander läßt sich eventuell auf die Ummauserung von Hybriden zu Rabenkrähenphänotypen erklären (vgl. STEINIGER 1950, NELDE 1969, MEISE 1928, SCHIEBEL 1920, SMITH & LESLIE 1925, LAUER-MANN mündl. Mitteilung).

Worauf dieses Phänomen zurückzuführen ist, wurde noch nicht untersucht.

Meine Beobachtungen von Mischpaaren deuten darauf hin, daß zwischen den verschiedenen Krühentypen zufällige Paarung stattfindet. Alle Krühentypen kommen während der Brutzeit gemeinsam vor. Es besteht kein Mangel an farbgleichen Partnern und trotzdem bilden sich Mischpaare aus. Nur Lunz bildet eine Ausnahme in dieser Hinsicht.

Der Anteil von Hybriden in Miederösterreich ist zwar gering, doch Raben- und Nebelkrähen halten sich in weiten Teilen des Hybridgürtels neben- einander auf (s. Abb. 4 - 9). Es konnten auch noch keine Verhaltensunterschiede zwischen Raben- und Nebelkrähen gefunden werden. Bereits HEINROTH (1924) schreibt: "Die Tiere halten sich offenbar für dasselbe".

Wie weit die Kreuzungsprodukte zwischen Rabenund Nebelkrähen (Hybriden) fertil sind, konnte
ich nicht nachweisen. PICOZZI (1976) gelang erstmals die Beobachtung, daß ein Hybridpaar (nebelkrähenähnliches of x rabenkrähenähnliches op) 2
nebelkrähenähnliche Junge aufzog. BÄHRMANN (pers.
Mitteilung) nimmt unbegrenzte Fruchtbarkeit an.
PICOZZI (1976) berichtet, daß keine Korrelation
zwischen Gefiederfärbung des Brutpaares und der
Anzahl der Jungen besteht. Noch gibt es keine
Untersuchung über die Gonaden der Maskrähenhybriden um den Grad der Fertilität festzustellen.
Fertilität der Hybriden oder wegen der geringen

Anzahl in manchen Mischgebieten auch verminderte Fertilität stellen zwei Möglichkeiten dar.

4.2. Diskussion der morphologischen und biochemischen Merkmale

Die Varianzanalyse zeigt eine beträchtliche Streuung bei den morphologischen Merkmalen. Durch größere Stichproben könnten wahrscheinlich Messungen der Schnabel- und Flügelform Unterschiede zwischen Rabenkrähen und Nebelkrähen aufdecken.

Ein Vergleich der Meßergebnisse verschiedener Untersuchungen (MEISE 1928, KLEINSCHMIDT 1938, RICHTER 1958, BÄHRMANN 1960) erweist sich als nicht sinnvoll, weil keine standardisierten Meßemethoden verwendet wurden.

Die hohe Anpassungsfähigkeit an verschiedene Lebensräume ohne besondere Spezialisation läßt bei den Aaskrähen keine speziell angepaßten Körpermerkmale erwarten.

In natürlichen Fopulationen erweist sich die Interpretation von Allozymuntersuchungen als schwierig, weil meistens nur eine Generation erfaßt werden kann, deren Eltern nicht bekannt sind. Deshalb beziehen sich sehr viele populationsgenetische Arbeiten auf Laboruntersuchungen,
die mit Freilandergebnissen oft nur bedingt vergleichbar sind.

Trotzdem ergeben Allozymuntersuchungen zwischen verwandten Arten und innerhalb von Arten interessante Aufschlüsse über genetische und systematische Fragen (vgl. SELANDER 1971, SIBLEY 1970, CURIO 1977). Heterozygote Individuen lassen sich durch den gemeinsamen Besitz von Allelen erkennen, die bei Homozygoten getrennt vorliegen. Solche codominant vererbten Allele wurden auch bei Untersuchungen an Vögeln aufgezeigt (vgl. QUINTEROS et al. 1964 bei Meleagris gallopavo und M. ocellata, FERGUSCN & BAMFORD 1973 bei Columba und Streptopelia Species, BECKMAN & NILSON 1965 bei mehreren Vogelarten und hybriden, HALEY 1965 bei Gallus domesticus, ZIMKHAM et al. 1966 bei Tauben, BRUSH 1970 bei Agelaius phoenicus, Euphagus cyanocephalus, Xanthocephalus xanthocephalus, BECKMAN et al. 1962 bei einigen Vogelhybriden, LUCOTTE & KANINSKI 1978 bei Coturnix coturnix japonica, MUELLER et al. 1962 bei Columbiden, COOPER et al. 1969 bei Streptopelia Arten, VALEMTA & STRATIL 1978 bei Anser anser, VOHS & CARR 1969 bei Fhasianus colchicus, LEURG & HALEY 1974 bei Gallus domesticus x

Coturnix coturnix).

Für die Auswahl der hier untersuchten Proteine und Enzyme war ausschlaggebend die Möglichkeit, die Ergebnisse mit anderen Arbeiten zu vergleichen.

Albumin

Das klar definierte Albuminband liegt bei den untersuchten Aaskrähen immer nur einfach vor.

Die Unterschiede der Albuminwanderungsgeschwindigkeit erscheinen individuell und nicht methodisch bedingt. Gallus domesticus weist z.B. ebenfalls nur einen Albuminphehotyp auf (HALEY 1965). Interspezifische Kreuzungen von Truthahnarten (QUINTEROS et al. 1964) und Machtel x Huhn Hybriden (HALEY 1965) zeigen 2 codominant vererbte Allele.

Prealbumin

Die auffällig weit wandernde Prealbuminbande bei einigen Krähenhybriden ist schwierig zu erklären. Weder bei Webelkrähen noch bei Rabenkrähen entdeckte ich ein vergleichbares Band. Es könnten physiologische Ursachen dafür verantwortlich sein. Doch durch die Einheitlichkeit der Prealbuminbänder aller anderen Individuen wird diese Erklärungsmöglichkeit unwahrscheinlich. Auch zeigten sich keine Unterschiede zwischen immaturen und

adulten, d'und o Individuen.

Durch die geringe Intensität der Prealbuminanfärbung können Bänder optisch nicht erkennbar bleiben. Weil das "Hybridband" nicht für alle Hybriden nachweisbar ist, bestehen vielleicht nur quantitative Unterschiede in der Frealbuminkonzentration. Da kein vergleichbarer Fall eines solchen "Hybridbandes" bekannt ist, scheint auch die Deutung als seltenes Allel unwahrscheinlich zu sein. Gegen diese Möglichkeit spricht auch das Auftreten des "Hybridbandes" bei Individuen aus verschiedenen Gegenden, trotz geringer Stichprobengröße. Die genaue chemische Zusammensetzung des Prealbuminmoleküls der Aaskrähen ist nicht bekannt. Deshalb kann auch keine Markierung mit radioaktiven Isotopen angewendet werden. FERGUSON & BAMFORD (1973) entdeckten intraspezifische Variation bei Columba und Streptopelia Arten. Das Auftreten von 1 bis 3 Bändern weist auf Kontrolle durch 3 Allele hin. CLAXTON et al. (1974) fanden 4 codominante Allele bei Mus musculus und GAHNE (1966) beschreibt 4 codominante Allele beim Pferd. Bei Fhasianus colchicus erscheinen Trealbumine ebenfalls durch 3 codominante Allele genetisch kontrolliert (BAKER et al. 1966).

Das Auftreten eines weit wandernden Frealbuminbandes bei einigen Hybriden zwischen Raben- und Nebelkrähe, unabhängig von der Lagerungszeit der Serumproben, der Dauer der elektrophoretischen Auftrennung und von Spannungsänderungen, bleibt ein Faktum, das weiterer Untersuchungen bedarf.

Lactatdehydrogenase LDH

5 verschiedene Formen der LDH wurden in den Geweben verschiedener Vögel und Säuger gefunden. APPELLA & MARKERT (1962) zeigten, daß jedes dieser Isoenzyme aus 4 Polypeptideinheiten von der Sorte A und B zusammengesetzt ist. Die Kombination dieser Untereinheiten führt zur Formation von 5 verschiedenen Isoenzymen.

Das Huster der LDH bei den Aaskrähen läßt darauf schließen, daß alle 5 Isoenzyme in der Beinmuskulatur vorhanden sind. Zu gleichen Ergebnissen kamen ZINKHAM et al. (1966) bei Tauben und LINDSAY (1963) bei Hühnern.

Zwischen den Krähentypen ergeben sich keine Unterschiede.

Starker genetischer Polymoromismus tritt dagegen z.B. bei Cypriniden (Tinca tinca, Carassius carassius, Cyprinus carpio) auf (VALTETA et al. 1977).

Malatdehydrogenase MDH

Cytoplasmatische und mitochondriale Form werden unterschieden (vgl. KITTO & WILSON 1966). Die in Kapitel 2.2.6. beschriebene Methode des Homogenisierens läßt das Auftreten der cytoplasmatischen MDH erwarten, weil dabei die Mitochondrien eventuell nicht gesprengt werden. Bei den Aaskrähen zeigt sich ein anodisches und ein kathodisches Band. Zum gleichen Ergebnis kam ALEKSIUK (1973) bei der Untersuchung der cytoplasmatischen MDH von Corvus brachyrhynchos (Amerikanische Krähe). KITTO & WILSON (1966) untersuchten über 100 Vogelarten und fanden nur geringe intraspezifische Variation der cytoplasmatischen MDH. Zwischen den MDH-Mustern der verschiedenen Aaskrähentypen konnten keine Urterschiede gefunden werden.

Vertebraten besitzen meist einen niedrigeren Grad an genetischem Polymorphismus auf biochemischer Ebene als Evertebraten (vgl. AVISE 1974, DCBZHARSKY et al. 1977). Innerhalb der Vertebraten werden Vögel als am wenigsten polymorph in Bezug auf Allozyme bezeichnet. aVISE (1974) und AYALA (1975) fanden durch elektro-

phoretische Daten, daß conspezifische Populationen besonders ähnlich in ihrer Allelzusammensetzung sind. WAGNER & SELANDER (1974) nehmen diese Ähnlichkeit ebenfalls an.

Die untersuchten morphologischen und biochemischen Merkmale weisen derauf hin, daß die Gefiederfärbung nach wie vor das wichtigste Differenzierungsmerkmal darstellt. Nur diese erlaubt es, heterozygote Individuen zu erkennen. Auf biochemischer
Ebene ergibt sich diese Möglichkeit nicht, obwohl
Prealbumine möglicherweise polymorph sind.

4.3. Diskussion des populationsgenetischen Modells

Cher die Faktoren, welche die Existenz und die Art des Hybridgürtels zwischen den Verbreitungsgebieten der Raben- und Hebelkrähe bewirken,
gibt es verschiedene Vermutungen und Forderungen
(vgl. HEISE 1928, FEUS 1941, HAYR 1963, 1970,
THOMPSON 1964, SHORT 1969, HEISE 1975, HOORE 1977).
In einem Hodell werden Faktoren mathematisch
logisch verknüpft. Aus bekannten Faktoren kann
ein unbekannter Faktor errechnet werden. Durch
Variation der Faktorenwerte zeigen sich deren
Einflüsse auf das System. Deshalb ist dieses

Modell ein Versuch, Vermutungen faßbar zu machen und die Ergebnisse mit den bekannten Hypothesen zu vergleichen.

In der Ornithologie sind populationsdynamische Vorgänge, wie Weite und Richtung der Wanderungen von Jung- und Altvögeln, durch Beringungsbefunde gut bekannt. Diese Werte gehen in die Berechnung als bekannte Variablen ein $(\bar{\mathbf{x}}, \mathbf{g})$. Meine Erhebungen bezüglich der Breite des Hybridgartels im Vergleich mit anderen Arbeiten sichern den Wert webenfalls gut ab.

Die Analyse des Verbreitungsgebietes in Niederösterreich hat sehr gut gezeigt, daß Hebelkrähenphänotypen entlang von Transekten, die senkrecht
zur Hybridzone liegen, sprunghaft abfallen und
Rebenkrähenphänotypen ebenso ansteigen (Frequenz).
Die Bedeutung, die Genflußrate und Genflußdistanz
zur Regulierung von Genfrequenzen beigemessen
werden, wurde schon von HEISE (1928, 1975), HAYR
(1963, 1970), BIGLEOW (1965), LEMONTIE (1970),
SELAHDER (1971) und BERNDT & STERLBERG (1969)
diskutiert und an Beispielen aufgezeigt (vgl.
EHRLICH & RAVEN 1969, LEWONTIE 1974, MOCRE 1977,
ROCKWELL & COOKE 1977).

Obwohl lokal benachbarte Brutpopulationen fast

alle Individuen untereinander austauschen, kann Differenzierung aufrecht erhalten bleiben, wenn der Hauptanteil des Genaustausches nur über kurze Distanzen stattfindet (vgl. EHDLER 1973, 1977).

Die Schwierigkeit, Selektionsgradienten durch Fitnesswerte von Individuen zu messen, bleibt bestehen (vgl. GILLESPIE 1977). Wach EHDLER (1977) gibt es bis jetzt realistische Resultate aus natürlichen Populationen nur von Insekten und Angiospermen, nicht aber von Vertebraten.

MEUSEL (1965) findet in Europa viele Verbreitungsgebiete von Pflanzen, die sich mit Klimastufen in Einklang bringen lassen. WHITE (1968) und bEISE (1975) weisen auf die Häufung von Hybridzonen in bestimmten geographischen Regionen hin.

Alpensüdrand: Aegithalos caudatus (europaeus x italiae) VAURIE, 1959

Passer domesticus (domesticus x italiae) JOHNSTON, 1969

Mitteleuropa: Turdus philomelos (philomelos x clarkei) PETERS, 1964

Mus musculus x domesticus, HUNT & SELANDER, 1973.

Außerdem gleichen sich noch die Verbreitungsgrenzen von Watrix natrix - Unterarten, Phytomyza abdominalis-Unterarten und von Erinaceus europaeus und E.roumanicus. Die östliche Verbreitungsgrenze von Ilex aquifclium, die 0° - Jännerisotherme und der Aaskrähenhybridgürtel decken sich ziemlich genau.
Eine klimatische Kline, verstärkt durch geographische
Barrieren (MAYR 1970: "Nebelkrähen sind typisch
für Tiefland und Ebenen, Rabenkrähen für höhere
Lagen") scheint mir deshalb als Selektionsfaktor
durchaus möglich (vgl. SALOMONSEN 1931, PEUS 1941,
NAYR 1970, COOK 1975, MCORE 1977, ENDIER 1977,
CLARKE 1975, SELANDER 1971, SERVENTY 1977, HILEMAN
1978).

Meine Ergebnisse, die auf konkreten biologischen Daten beruhen, lassen auf einen Selektionsgradienten schließen, der sich über 1000 bis mehr Kilometer erstreckt. Daß sich Klima und Vegetationsverhältnisse in Europa vor Westen nach Osten über diese Distanz ändern, ist unumstritten.

Die immer nur kurzfristige Existenz von Rabenkrähenniederlassungen im Osten (STANESCU 1966) und von Nebelkrähen im Westen (DUBOIS 1974), d.h. jeweils im Verbreitungsgebiet der anderen Form, deutet ebenfalls auf einen Selektionsvorgang hin.

4.4. Allgemeine Diskussion

Raben- und Nebelkrähen?

Die Diskussion über Lage und Breite des Hybridgürtels zwischen den Verbreitungsgebieten von
Raben- und Nebelkrähe, sowie über Variabilität
und Ähnlichkeit morphologischer und biochemischer
Merkmale leitet über zu folgenden Fragen:
Lassen sich Phänomene wie die räumliche Verschiebung
und die verschiedene Breite des Hybridgürtels
in Europa durch obige Ergebnisse erklären?
welche Folgen hat eventuell verminderte Fertilität
der Hybriden?
Wie wirkt sich gezielte Paarung von Nebelkrähen
bzw. Rabenkrähen aus?
In welchem Stadium der Evolution befinden sich

Räumliche Verschiebungen der Hybridzone und Anderungen innerhalb der Hybridzone könnten durch folgende Effekte bedingt sein:

Findet die Abwanderung der Jungvögel nicht zufällig statt, sondern wird dabei eine Richtung bevorzugt, so resultiert daraus asymmetrischer Genfluß. Dadurch müßte sich die Hybridzone in Richtung des verstärkten Genflusses verschieben.

Änderungen der Populationsdichte durch Zerstörung oder Änderung des Lebensraumes, Vergiftungs-aktionen oder Seuchen können auslösend wirken vgl. HENDERSON 1977).

Die Selektionswirkung kann sich aus verschiedenen Faktoren ergeben, die nicht immer im gleichen Verhältnis zueinander stehen. Der Anstieg des Selektionsgradienten ist dann nicht linear, woraus sich ebenfalls Verschiebungen der Hybridzone ergeben können. Durch die lange Generationsfolge und die hohe Lebenserwartung der Aaskrähen bedingt, wirken sich solche Einflüsse aber nur langsam aus. Geographische Barrieren, wie die Alpen, bewirken wahrscheinlich ebenfalls eine Selektion (Nebelkrähen in der Poebene und Rabenkrähen im Gebirge bzw. am Gebirgsrand), wodurch sich die Hybridzone an den Alpenbogen anpassen muß. Steilere Selektionsgradienten durch geographische Barrieren beeinflussen auch die Breite des Hybridgürtels und bewirken wahrscheinlich die schmale Hybridzone entlang der Alpen.

Verminderte Fertilität der Hybriden müßte diesen einen Selektionsnachteil gegenüber den fertilen Individuen bringen, was zu einer Verschmälerung der Hybridzone führen würde (vgl. MAYR 1970).
Uberlegenheit der Hybriden muß dagegen zur Ausdehnung der Hybridzone führen, die aber noch nirgends beobachtet werden konnte.

Verminderte Fertilität der Hybriden müßte die Entstehung von Isolationsmechanismen fördern. Ein solcher wäre bereits die gezielte Paarung der beiden Färbungstypen Rabenkrähe bzw . Nebelkrähe. Ein derartiger Effekt ist nicht mit dem Grad der morphologischen oder biochemischen Differenzierung korreliert, sondern beruht auf der Entstehung von Kreuzungsbarrieren (vgl. FISHER 1930, DOBZHANSKY 1951, SIBLEY 1957, MAYR 1963, 1970, WHITE 1968, SHORT 1969). Findet keine zufällige Paarung zwischen den Aaskrähentypen mehr statt, bilden sich allmählich immer stärkere Isolationsmechanismen aus. Der Hybridgürtel müßte im Lauf der Evolution immer enger werden, bis er verschwindet. Damit wäre der Weg zur sympatrischen Verbreitung von Raben- und Rebelkrähen offen, wenn keine dagegenwirkenden Einflüsse auftreten (vgl. SHCRT 1969, NAYR 1970).

Meine Beobachtungen in Niederösterreich zeigen im Vergleich mit dem schon vorhanden gewesenen

Datenmaterial, daß sogar bei einem flachen
Selektionsgradienten mit geringem Genfluß über
kurze Distanz ein Gleichgewichtszustand beibehalten werden kann. Gemessen an evolutiven Zeiträumen erscheint die Dauer des Bestehens des
Hybridgürtels zwischen Rabenkrähen- und Nebelkrähenverbreitungsgebieten zu kurz und in Details
zu ungenau bekannt, um Änderungen feststellen zu
können, die sich populationsgenetisch auswirken
könnten.

Der Hybridgürtel kann sich auch schon lange in einem Gleichgewichtszustand befinden, indem er durch die ausgleichende Wirkung von Selektion und Genfluß stabilisiert werden könnte oder er kann sich auch in einem Übergangsstadium befinden, das schließlich mit der Ausbildung von Isolationsmechanismen enden wird.

Beide Entwicklungslinien erscheinen möglich.
Mir scheint am ehesten ein Gleichgewichtszustand
bei unveränderten Umwelteinflüssen wahrscheinlich.

Literaturverzeichnis

- ALEASIUK, M. (1973): Temperature-dependent enzyme kinetics during avian ontogeny: malate dehydrogenase in the common crow (Corvus brachyrhynchos) and the pintail (Anas acuta). Can.J.Zool. 51: 557 565.
- ALLEN, R.C. & H.R. MAURER (1974): Electrophoresis and isoelectic focusing in polyacrylamide gel. Berlin, New York (Walter de Gruyter), 316 p.
- AMADON,D. & L.SHORT (1976): Treatment of subspecies approaching species status. Syst.Zool. 25: 161 167.
- APPELLA, E. & C.MARKERT (1961): Dissociation of lactate dehydrogenase into subunits with guanidine hydrochloride. Biochem. Biophys. Res. Comm. 6: 171 176.
- ASCHENBRENNER, L., A.BILLEK, H.PETERS, J.SINDELAR (1956): Die Vogelwelt des Schönbrunner Schloßparkes und der angrenzenden Gartenstadt Tivoli. Vogelk. Wachr. Österr. 7: 7 15.
- AUSOBSKY, A. & K.MAZZUCCO (1964): Die Brutvögel des Landes Salzburg und ihre Vertikal-Verbreitung. Egretta 7: 1 49.

- AVISE, J. (1975): Systematic value of electrophoretic data. Syst. Zool. 23: 465 - 481.
- AYALA, F.J. (1975): Genetic differentiation during the speciation process. Evol. Biol. 8: 1 78.
- AYALA, F.J. (1976): Molecular evolution. Sunderland, Massachusetts, Sinauer Assoc.
- BÄHRMANN, U. (1960 a): Wie verhalten sich die mitteldeutschen Krähenmischlinge in der Größe zu
 ihren Ausgangsrassen, den Raben- und Nebelkrähen.
 Anz.orn.Ges.Bayern 5: 510 513.
- BAHRMANN, U. (1960 b): Untersuchungen an einer Krähenpopulation im Mischgebiet der Raben- und Nebelkrähe in Deutschland östlich der Elbe. Abh. Ber. Mus. Tierk. Dresden 25: 71 79.
- BAKER, C.M.A., C.MANWELL, R.F.LABINSKY, J.HARPER (1966): Molecular genetics of avian proteins V. Egg, blood and tissue proteins of the ring-necked pheasant, Phasianus colchicus L. Comp. Biochem. Physiol. 17: 467 499.
- BAUER, H. (1958): Zur systematischen Stellung des Blutspechtes. Johann Friedrich Naumann-Ehrung: 22 - 24. Deutscher Kulturbund, Berlin.
- BECKHAH, L., F. CONTERIO, D. MAINARDI (1962): Frotein synthesis in species hybrids of birds.

 Nature 196: 92 93.

- BECKMAN, L. & L.R.NILSON (1965): Variations of serum enzymes in bird species and hybrids.

 Hereditas 53: 221 230.
- BECKMANN, K.O. (1964): Die Vogelwelt Schleswig-Holsteins. Neumünster, 38 p.
- BERNDT,R. & W.MEISE (1966): Naturgeschichte der Vögel, Bd. 1 und 3. Stuttgart.
- BERNDT, R. & H.STERNBERG (1969): Uber Begriffe,
 Ursachen und Auswirkungen der Dispersion bei
 Vögeln. Vogelwelt 90: 41 53.
- BERTHOLD, P., E.BEZZEL, G.THIELCKE (1974): Praktische Vogelkunde. Kilda Verl., Greven, Westfalen, 144 p.
- BIGELOW, R.S. (1965): Hybrid zones and reproductive isolation. Evolution 19 (4): 449 458.
- BLAIR, W.F. (1961): Vertebrate speciation. Univ.
 Texas Press, Austin, 642 p.
- BOROWSKY,R. (1977): Detection of the effects of selection of protein polymorphism in natural populations by means of a distance analysis. Evolution 31: 341 346.
- BRUSH, A.H. (1970): An electrophoretic study of egg whites from three blackbird species.

 Univ. Connecticut Occas. Papers 1 (4): 243 264.
- BUB, H. (1967): Vogelfang und Vogelberingung, Teil

- VALENTINE (1977): Evolution. W.H.Freeman & Co., San Francisco.
- DUBOIS,P. (1974): Nouvelle observation d'une Corneille mantelée en Bretagne. Alauda 42: 123 124.
- EDER, R. (1908): Die Vögel Niederösterreichs.
 Mödling bei Wien, Selbstverl.d. Verf., 108 p.
- EHRLICH, P.R. & P.H.RAVEN (1969): Differentiation of populations. Science 165: 1228 1232.
- ENDLER, J.A. (1973): Gene flow and population differentiation. Science 179: 243 250.
- ENDLER, J.A. (1977): Geographic variation, speciation and clines. Princeton Univ. Press, Princeton,
 New Jersey.
- FERGUSON, A. & D.R. BAMFORD (1973): An electrophoretic study of the plasma and egg white proteins of Columba and Streptopelia. Comp. Biochem. Physiol. 44 B: 803 817.
- FISHER, R.A. (1950): Gene frequencies in a cline determined by selection and diffusion.

 Biometrics 6: 353 361.
- FOCKE, E. (1966): Wher die Alter- und Geschlechtsverteilung sowie Körpermaße bei Corviden im Winter in Mordwestdeutschland. Veröff. Cherseemus. Brenen A 3 (5): 259 - 264.

- II. Neue Brehm Bücherei 377.
- BUSSE, P. (1969): Results of ringing European Corvidae. Acta Crnithologica 11 (8): 263 328.
- CLARKE, B. (1975): The causes of biological diversity. Scientific Amer. 233 (2): 50 60.
- CLAXTON, L., H.V. MALLING, H.E. WALBURG (1974):

 Serum prealbumin in inbred strains of Mus

 musculus. Biochem. Genet. 11 (2): 97 102.
- COCK, A. (1975): Changes in the Carrion/Hooded Crow hybrid zone and the possible importance of climate. Bird Study 22 (3): 165 - 168.
- COOPER,D.W., M.R.IRWIN, W.H.SCOME (1969):

 Inherited variation in the dehydrogeneses of
 doves (Streptopelia). I.Studies on 6-phosphogluconate dehydrogenese. Genetics 62: 597 606.
- CURIO, E. (1977): Some aspects of individual variation in birds. Vogelwarte 29 (Sonderheft): 111 120.
- DITTMER, A. (1965): Die Plasmaproteine. In: Plasmaeiweiß und Elektrophorese. A. Dittmer, 1965, G. Fischer, Jena.
- DOBZHANSKY, Th. (1941): Genetics and the origin of species (second edition), New York, Columbia Univ. Press.
- DCBZHAMSKY, Th., F.J.AYALA, G.L.STEBBINS, J.W.

- GAHNE, B. (1966): Studies on the inheritance of electrophoretic forms of transferrins, albumins, prealbumins and plasma esterases of horses.

 Genetics 53: 681 694.
- GILLESFIE, J.H. (1977): A general model to account for enzyme variation in natural populations.

 III. Multiple alleles. Evolution 31 (1): 85 90.
- GOLDBERG, E. (1966): Lactate dehydrogenase of trout: hybridization in vivo and in vitro. Science 151: 1091 1093.
- GCCDWIN, D. (1976): Crows of the world. Cornell Univ. Fress, Ithaca, New York, 354 p.
- GRAY, A.P. (1958): Bird hybrids. Commonwealth Agricultural Bureau, Bucks., England.
- HAFFER, J. (1974): Pleistozäne Differenzierung der amazonischen Vogelfauna. Bonn. zool. Beitr. 25: 87 117.
- HALEY, L.E. (1965): Serum albumin polymorphism in quail and chicken quail hybrids. Genetics 51: 983 986.
- HARTERT, E. (1910): Die Vögel der paläarktischen Fauna. Bd.1, Berlin.
- HASTINGS, A. & F.J.ROHLF (1974): Gene flow: effect in stochastic models of differentiation.

 Amer. Met. 108 (963): 701 705.

- HEINROTH, O. (1924): Die Vögel Mitteleuropas, Bd. 1, Berlin.
- HENDERSON, B.A. (1977): The genetics and demography of a high and low density of red grouse Lagopus 1. scoticus. J.Anim. Ecol. 46: 581 592.
- HCLYOAK, D. (1971): Movements and mortality of Corvidae. Bird Study 18: 97 106.
- HÖLZINGER, J., G.KNÖTSCH, B.KROYMANN, K.WESTERMANN (1970): Die Vögel Baden Würtembergs eine Übersicht. Anz.orn.Ge...Bayern 11: 70 110.
- HUNT, w.G. & R.K. SETARDER (1973): Biochemical genetics of hybridization in European house mice. Heredity 31: 11 33.
- ISSEL, W. & G.STEINBACHER (1956): Corvus corone cornix in Südtirol. Vogelwelt 77: p. 91.
- JCHRSTON, R.F. (1969 a): Taxonomy of house sparrows and their allies in the Mediterranean basin.

 Condor 71: 129 139.
- KALCHREUTER, H. (1970): Ringfundergebnisse bei der Rabenkrähe (Corvus corone corone).

 Vogelwarte 25 (3): 245 255.
- KARIG, L.M. & A.C.WILSON (1971): Genetic variation in supernatant malate dehydrogenase of birds and reptiles. Biochem. Genetics 5: 211 221.
- KEIL, W. (1967): Erfahrungen mit einer Falle zur

- Verminderung der Rabenkrähe Corvus corone corone. In: Deutscher Bund für Vogelschutz e.V., Jahresheft 1967, Stuttgart.
- KITTO,G.B. & A.C.WILSON (1966): Evolution of malate dehydrogenase in birds. Science 153: 1408 1410.
- KLEINSCHMIDT, O. (1938): Die deutschen Raubkrähen II. Falco 34: 47 52.
- LEISLER,B. & H.WIMKLER (1978): Zur Unterscheidung
 von Teich- und Sumpfrohrsänger (Acrocephalus
 scirpaceus, A.palustris).J.Ornithol.119 (3):
 340 342.
- LEUNG, E.S. & L.E.HALEY (1974): The ontogeny of phosphogluconate dehydrogenase and glucose 6-phosphate dehydrogenase in Japanese Quails and chicken quail hybrids. Biochem.Genetics 11 (3): 221 230.
- LEWGNTIN, R.C. (1970): On the irrelevance of genes.

 In: Towards a theoretical biology. 3 Drafts.

 (C.H. Waddington, ed.) pp.63 72. Aldine Publ.

 Co., Chicago, Illinois.
- IEMONTIN, R.C. (1974): The genetic basis of evolutionary change. Columbia Univ. Fress,

- Princeton, New Jersey.
- LUCOTTE, G. & M.KAMINSKI (1978): Biochemical homeostasis of the heterozygote at the lysozyme locus in Japanese quail. Biochem. Syst. Ecol. 6: 145 147.
- LINDSAY, D.T. (1963): Isozymic patterns and properties of lactate dehydrogenase from developing tissues of the chicken. Journ.of exper.Zool.152: 75 89.
- NARSCHALL, A.F. Graf & A.v. PELZELN (1882): Ornis Vindobonensis. Die Vogelwelt Wiens und seiner Umgebung, Wien.
- MAY, R.M., J.A. ENDLER, R.E.MC MURTRIE (1975): Gene frequency clines in the presence of selection opposed by gene flow. Amer. Nat. 109: 659 676.
- MAYR, E. (1942): Systematics and the origin of species. Columbia Univ. Press, New York, 334 p.
- MAYR, E. (1963): Animal species and evolution.
 Acad. Press, Cambridge, Mass., 797 p.
- MAYR.E. (1970): Fopulations, species and evolution.
 Harvard Univ. Press, Cambridge, Mass.
- MEISE, W. (1928): Die Verbreitung der Aaskrähe (Formenkreis Corvus corone L.). J.Ornith. 76: 1 203.
- MEIGE, w. (1926 a): Rassenkreuzungen an den Arealgrenzen. Verh.dtsch.zool.Ges.1928: 96 - 105.
- HMISE, W. (1975): Natürliche Bastardpopulationen

- und Spezistionsprobleme bei Vögeln. Abh. Verh. naturwiss. Ver. Hamburg 18/19: 187 254.
- MELDE, 1. (1969): Raben- und Webelkrähe (Corvus corone corone und Corvus corone cornix).

 Neue Brehm Bücherei 414, Wittenberg, 110 p.
- MEUSEL, H., E.JÄGER, E.WEINERT (1965): Vergleichende Chorologie der zentraleuropäischen Flora. G. Fischer, Jena.
- MILKMAN, R. (1978): Selection differentials and selection coefficients. Genetics 88: 391 403.
- MILLER, A.H. (1955): Concepts and problems of avian systematics in relation to evolutionary processes.

 In: Recent studies in avian biology: 1 22,

 Urbana, Univ. Illinois Press.
- MINTUS, A. (1928): Unser Krahenvolk. Bl. Naturk.

 Naturschutz 15: 13 16.
- MOORE, W.S. (1977): An evaluation of narrow hybrid zones in vertebrates. Quarterly Rev.Biol. 52: 263 277.
- MOREAU, R.E. (1966): The bird faunas of Africa and its islands. New York, Acad. Press.
- MUELLER, J.O., O.SMITHIES, M.R.IRVIN (1962): Transferrin variation in Columbidae. Genetics 47: 1385 1392.
- EURRAY, J.J. (1972): Genetic diversity and natural selection. Edinburgh, Oliver & Boyd.

- NATHUSIUS, W.v. (1874): Nachweis des Speciesunterschiedes von Corvus corone und Corvus cornix, und ihrer häufigen Verbastardirung an den Eischalen. J.Ornith. 22: 1 _ 26.
- NAUMANN, F. (1822): Naturgeschichte der Vögel Deutschlands II. Leipzig.
- NIETHAMMER, G. (1937): Handbuch der deutschen Vogelkunde. Bd. 1. Leipzig.
- NOTHDURFT, W. (1976): Sommervorkommen schwarzgrauer
 Aaskrähen Corvus corone in Oberschwaben von
 1968 bis 1971. Anz.orn.Ges.Bayern 15 (1): 65 68.
- PETERS, J.L. (1934 1970): Check-list of birds of the world; ab Vol. 10: A continuation of the work of J.L.PETERS. Vol 10: Ripley, S.D. Turdinae, 502 p.
- PEUS, F. (1941): Uber Krähenflöhe und Krähen. Z. Morphol. Ökol. Tiere 37: 426 - 454.
- PICOZZI, N. (1976): Hybridization of carrion and hooded crows Corvus c. corone and Corvus c. cornix, in northeastern Scotland. Ibis 118: 254 257.
- QUINTEROS, I.R., R.W.C.STEVENS, C.STORFORT, V.S.
 ASHUMDSON (1964): Albumin phenotypes in turkeys.
 Genetics 50: 579 582.

- RICHTER, H. (1958): Untersuchungen an einer Aaskrähenpopulation in Mittelmecklenburg. Abh.
 u.Ber.staatl.Mus.Tierk.Dresden 21: 219 240.
- ROCKWELL, R.F. & F.COOKE (1977): Gene flow and local adaptation in a colonially nesting dimorphic bird: the lesser snow goose (Anser caerulescens caerulescens). Amer.Nat. 111 (977): 91 97.
- SALOMONSEN, F. (1931): Diluviale Isolation und Artenbildung. Proc.VII Intern.Ornithol.Congr. Amsterdam. 1930: 413 438.
- SELANDER, R.K. (1971): Systematics and speciation in birds. In: Farner, D.S. & King, J.R.: Avian biology, 1: 57 147. New York (Acad. Press).
- SERVENTY, D.L. (1977): The use of data on the distribution of birds to monitor climatic changes. Emu 77: 162 166.
- SHARROCK, J.T.R. (1976): The atlas of breeding birds in Britain and Ireland.
- SHAW, C.R. (1965): Electrophoretic variation in enzymes. Science 149: 936 943.
- SHAW, C.R. & R.PRASAD (1970): Sterch gel electrophoresis of enzymes - a compilation of recipes. Biochem. Genetics 4: 297 - 320.
- SHORT, L. (1969): Taxonomic aspects of avian hybridization. The Luk 86: 84 105.

- SHORT, L. (1972): Hybridization, taxonomy and avian evolution. Ann. Missouri Bot. Gard. 59: 447 453.
- SIBLEY, C.G. (1957): The evolutionary and taxonomic significance of sexual dimorphism and hybridization in birds. Condor 59: 166 191.
- SIBLEY, C.G. (1961): Hybridization and isolating mechanisms. In Blair, W.F.: Vertebrate speciation. Univ. Texas Fress, Austin, 69 88.
- SIBLEY, C.G. (1970): A comparative study of the egg white proteins of passerine birds. Bull.

 Peapody Mus.nat.Hist., Nr. 32, 131 p.
- SIBLEY, C.G. & H.T. HENDRICKSON (1970): A comparative electrophoretic study of avian plasma proteins.

 Condor 72: 43 49.
- SIBLEY, C.G., K.W. CORBIN, J.E. AHLQUIST, A.FERGUSON (1974): In Wright, C.A.: Biochemical and immunological taxonomy of animals. London,

 New York, Acad. Press, pp.89 176.
- SMITH, T.L. (1925): Hybrid crows in Forforshire.
 British Birds 18: 53 54.
- SPERLICH, D. (1973): Populationsgenetik. G. Fischer, Stuttgart.
- STANESCU,D. (1966): Brutvorkommen der Rabenkrähe in der Sozialistischen Republik Rumänien. Falke 13, p. 268.

- STENHOUSE, J.H. (1925): Mixed plumages in a brood of hybrid crows. Scott.Nat. 154: 101 105.
- STEINIGER, F. (1950): Über eine Rückkreuzung Rabenkrähe (Corvus c. corone) x Mischlingskrähe aus Südtondern. Vogelwarte 15: 226 - 232.
- THIENEMANN, J. (1896): Einiges über Krähenbastarde (Corvus cornix x Corvus corone). Ornith. Monats-schr. 21: 342 354.
- THOMESON, A.L. (1964): "Crow". In: Thompson, A.L. (ed.), A new dictionary of birds: 163 168, London, Nelson.
- TOMEK, R. (1939): Vogelkundliche Beobachtungen im Schneeberggebiet. Bl. Naturk. Natursch. 26: 106 108.
- TUNNER, H.G. (1973): Das Albumin und andere Bluteiweiße bei Rana ridibunda Pallas, Rana lessonae
 Camerano, Rana esculenta Linne und deren Hybriden.
 Z.zool.Syst.Evolut.-forsch. 11: 219 233.
- VALENTA, N. & A.STRATIL (1978): Polymorphism of transferrin and conalbumin in the domestic goose (Anser anser). Anim. Blood Grps. biochem. Genet. 9: 129 132.
- VALENTA, M., V.SLECHTA, V.SLECHTOVA, L.KALAL (1977):
 Genetic polymorphism and isozyme patterns of
 lactate dehydrogenase in tench (Tinca tinca),

- crucian carp (Carassius carassius) and carp (Cyprinus carpio). Anim.Blood Grps.biochem. Genet. 8: 217 230.
- VAURIE, C. (1954): Systematic notes on Palearctic birds. Nr. 5, Corvidae. Amer. Mus. Novit., 1668: 1 23.
- VOHS,P.A. & L.R.CARR (1969): Genetic and population studies of transferrin polymorphism in ring-necked pheasants. Condor 71: 413 417.
- VUILLEUMIER, F. (1977): Suggestions pour des recherches sur la speciation des oiseaux en Iran. La Terre et la Vie 31: 459 488.
- WAGNER, R.P. & R.K. SELANDER (1974): Isozymes in insects and their significance. Ann. Rev. of Entomology 19: 117 138.
- WARNCKE, K. (1968): Nebekrähe brütet in Mittelfranken. Anz.orn.Ges.Bayern 8: p. 4.
- WETTSTEIN-WESTERSHEIM, O.v. (1919): Das Vogelleben der Donausuen bei Wien einst und jetzt. Bl.
 Naturk.Naturschutz 6: 29 34.
- WETTSTEIN, O. (1928): Das Tierleben der Großstadt Wien. Bl. Naturk. Naturschutz 15: 109 - 116.
- WhITE, N.J.D. (1968): Acdels of speciation. Science 159 (3819): 1065 - 1070.

- WHITE, N.J.D. (1978): Modes of speciation. San Francisco. Freeman & Co. 455 p.
- WILSON, E.O. & W.H.BOSSERT (1973): Einführung in die Populationbiologie. Springer Verlag (Heidelberger Taschenbücher), Berlin.
- WITTENBERG, J. (1968): Freikanduntersuchungen zu Brutbiologie und Verhalten der Rabenkrähe (Corvus corone corone). Zool. Jb. Syst. 95: 16 146.
- ZINKHAM, W.H., L.KUPCHYK, A.BLANCO, H.ISENSEE (1966):
 A variant of lactate dehydrogenase in somatic
 tissues of pigeons. J.exp.Zool. 162: 45 56.

Lebenslauf:

Ich wurde am 17. Februar 1953 in Wiener Neustadt als Sohn des ÖBB- Bediensteten Johann Aubrecht und der Volksschullehrerin Hermine Aubrecht, geb. Gritsch, geboren. Nach vierjährigem Besuch der Volksschule absolvierte ich das Bundesgymnasium in Wiener Neustadt und maturierte dort 1971. Im selben Jahr begann ich mein Studium an der Universität Wien im Hauptfach Zoologie und Nebenfach Botanik. Mein Dissertationsthema übernahm ich im Herbst 1975 von Herrn Prof. Schaller.

In Goldend Shelivelly